

1978



CD

ommack 4437

1948

Ackermann R. J., Raiki E. G.

Rec. int. Hautes Temp.

III. II.

Refract., Fr., 1948, vol. 15,  
pp' 259-80.

CD

LM. 36507

1978

Asbrink L., Fjidh C.,  
et al.,

crekmp  
bozóyong.  
II YG  
crekmp

Chem. Phys., 1978, 27,  
159-168.

CO  
HF  
H<sub>2</sub>  
HeH

кривые  
потенциальной  
энергии

(3)

2.1979, N3

1918

3 Б77. Об аппроксимации функций потенциальной энергии двухцентровых систем. Barnsley Michael F., Aguilar Jacques G. On the approximation of potential-energy functions for two-center systems. «Int. J. Quant. Chem.», 1978, 13, № 5, 641—677 (англ.; рез. франц., нем.)

Проанализированы способы интерполяции функций потенциальной энергии  $E(R)$  двухатомных систем. В кач-ве исходной информации предполагается знание либо значений энергии в нескольких точках на потенциальной кривой, либо значений функции и ее производных в одной точке. Основу предлагаемого подхода составляет утверждение, что кривые  $F(R) = F^2 E(R)$  м. б. получены при рассмотрении проблемы собственных значений оператора, линейно зависящего от  $R$ . Детально проанализированы св-ва кривых  $F(R)$ . Предложены различные способы построения оценок для  $F(R)$  с помощью вариац. метода. Приведены примеры интерполяции потенциальных кривых молекул CO, HF, H<sub>2</sub>, HeH.

А. В. Немухин

CO

1978

Behrens L.G.

Сев. пост.

десерт

сезон

J. Less. - Common Met,  
1978, 58(1), 47-54

(см. Карабинчев атт. I)

CO

1978

9 Д425. Двухфотонное возбуждение вакуумного УФ-спектра поглощения молекул CO, свободное от допплеровского уширения. Bergheim R. A., Kittrell C., Viers D. K. Doppler-free two-photon excitation of the vacuum ultraviolet absorption spectrum of CO. «Adv. Laser Chem. Proc. Conf., Pasadena, 1978». Berlin e. a., 1978, 343—346 (англ.)

В области 65 950—66 250 см<sup>-1</sup> с высоким разрешением получен спектр газообразных молекул CO. Установлено, что наблюдавшийся спектр относится к системе переходов  $A^1\Pi - X^1\Sigma^+$  и возбуждается в результате двухфотонного поглощения излучения перестраиваемого лазера на красителе. Структура спектра отождествлена. М. Т.

00.1949N9

CO

отмечена 6849

1978

2 Д359. Двухфотонное лазерное возбуждение CO в вакуумной УФ-области спектра без доплеровского уширения. Bergheim R. A., Kittrell C., Veirs D. K. Doppler-free two-photon laser excitation of the vacuum ultraviolet absorption spectrum of CO. «J. Chem. Phys.», 1978, 69, № 3, 1308—1309 (англ.)

С помощью импульсного перестраиваемого лазера на красителе (ширина полосы  $0,03 \text{ см}^{-1}$ ) получен спектр двухфотонного возбуждения CO без доплеровского уширения в вакуумной УФ-области (переход  $A^1\Pi - X^1\Sigma$ ). Для калибровки по длинам волн использован спектр возбуждения флуоресценции  $J_2$  в видимой области, который регистрировался одновременно со спектром возбуждения CO. Положение полос в спектре CO определено с точностью  $0,012 \text{ см}^{-1}$ . Отмечено, что эта точность далеко не является предельной для данного метода.

В. С. Иванов

Р. 1979.2

CO

документ 6849

1978

6 Б161. Двухфотонное лазерное возбуждение вакуумного ультрафиолетового спектра поглощения в отсутствии допплеровского уширения. Bergheim R.A., Kittrell C., Veirs D. K. Doppler-free two-photon laser excitation of the vacuum ultraviolet absorption spectrum of CO. «J. Chem. Phys.», 1978, 69, № 3, 1308—1309 (англ.).

спектр

Измерен спектр двухфотонного лазерного возбуждения CO в вакуумной УФ-области (переход  $A^1\Pi - X^1\Sigma^+$ ). Излучение перестраиваемого лазера на красителе (видимая область) преобразовывали во вторую гармонику после прохождения кристалла дигидрофосфата калия и пропускали в прямом и обр. направлениях (для устранения допплеровского уширения) через оптич. ячейку содержащую окись углерода. Регистрировали интенсивность ВУФ-флуоресценции CO из состояния  $A^1\Pi$ , как функцию перестраиваемой частоты возбуждения. Калибровку исходной частоты излучения лазера осуществляли по спектру флуоресценции йода одновременно с измерением спектра CO. Полученный спектр хорошо согласуется со спектром поглощения высокого разрешения, измеренным обычным способом.

д. 1979, № 6

В. М. Ковба

CO

1978

Bočá Roman, et al.

Theor. chim. acta, 1978,  
50, NL, 11-19.

clst. novi.  
praktická.  
pracovní.

act. Litt-III

CO

Онтическое 6155

1978

12 Д408. Составляющие высших порядков коэффициентов Данхэма: приложение к расчету основного состояния CO. Во цапич J. P. Higher-order contribution to the Dunham coefficients: application to the ground state of CO. «J. Quant. Spectrosc. and Radiat. Transfer», 1978, 19, № 4, 381—386 (англ.)

Уточнены значения коэф. Данхэма  $Y_i$ , путем учета составляющих 8-го и в некоторых случаях 10-го порядков. С помощью данной методики проведен анализ основного электронного состояния молекулы  $^{12}\text{C}^{13}\text{O}$ . Отмечено, что определение достоверных значений коэф.  $a_i$  ( $i > 6$ ) в выражении для потенц. энергии на основе новейших эксперим. спектроскопич. данных не представляется возможным.

Резюме

XIV-9215

Ф.1978, N12

$^{13}\text{C}^{16}\text{O}$

pmmcce 6155  
XIV-9215

1978

$(Y_{ij})$

88: 200105s Higher-order contributions to the Dunham coefficients; application to the ground state of carbon monoxide. Bouanich, J. P. (Lab. Infrarouge, Univ. Paris Sud, Orsay, Fr.). *J. Quant. Spectrosc. Radiat. Transfer* 1978, 19(4), 381-6 (Eng). The Dunham coeffs.  $Y_{ij}$  were expanded through the 8th-order contributions and for some coeffs. through the 10th-order contributions. The formula obtained was applied to an anal. of the ground electronic state of  $^{13}\text{C}^{16}\text{O}$ . From the most recent spectroscopic data, it was not possible to deduce reasonable values for the potential energy coeffs.  $a_i$  with  $i > 6$ .

C.A. 1978, 88, N26

книжка 6155

1949

60

19 Б18. Вклады высших порядков в коэффициенты Данхэма. Приложение к основному состоянию CO.  
Boquainich J. P. Higher-order contributions to the Dunham coefficients: application to the ground state of CO. «J. Quant. Spectrosc. and Radiat. Transfer», 1978, 19, № 4, 381—386 (англ.)

Приведены разложения в ряды теории возмущений вплоть до членов 10-го порядка коэф.  $v_{ij}$  ряда Данхэма для колебательно-вращательных уровней энергии. Коэф.  $v_{ij}$  выражены через параметры ангармоничности  $a_i$ , потенциальной функции и спектроскопич. постоянные  $B_i$  и  $\omega_i$ . С использованием новейших эксперим. данных о  $v_{i0}$  и  $v_{i1}$  для основного электронного состояния молекулы CO рассчитаны соотв.-щие значения параметров  $a_0, a_1, \dots, a_6$  и постоянных  $B_i$  и  $\omega_i$ . Полученные величины м. б. использованы для вычисления остальных коэф.  $v_{ij}$ . Отмечено, что оценка параметров  $a_i$  при  $i > 6$  затруднительна из-за неопределенностей в эксперим. данных и приближенного характера теории, лежащей в основе данхэмовских разложений.

А. В. Немухин

Физика-Радио  
Составил

XIV-9215

Х. 1978, N 19

CO

1976

Broyer et al

Adv. Atom. and Mol. Phys.

Vol. 12. New York e.a., 1976,  
165-213.

автор:  
Броудер  
и соавт.

CO

стмисс 6373

1978

кв. меж.  
рассек, у.

1 Д130. Орбитальные вклады в энергию релаксации, сопровождающей ионизацию остовов в ряду CO, COH<sup>+</sup>, HCO<sup>+</sup> и H<sub>2</sub>CO. Clark David T., Cromagty Benjamin J., Sgamellotti Antonio. Orbital Contributions to Relaxation Energies Accompanying core Ionizations in the Series CO, COH<sup>+</sup>, HCO<sup>+</sup> and H<sub>2</sub>CO. «J. Chem. Soc. Faraday Trans.», 1978, Part 2, 74, № 6, 1046—1055 (англ.)

Неэмпирическим методом ССП МО ЛКАО исследовано электронное сопротивление CO (I), COH<sup>+</sup> (II), H<sub>2</sub>CO (III), HCO<sup>+</sup> в линейной (IV) и изогнутой V геометрии. Использован базис сгруппированных гауссовских ф-ций, близкий к двухэкспонентному и содержащий поляризационные ф-ции. Проведена полная оптимизация геометрии. Рассчитаны энергии ионизации остовых электронов и соответствующие энергии релаксации в формализме Δ ССП (как разности энергий основного и соответствующего ионизированного состояний). Обнаружено, что длина связи C—O в IV на 3%

(+) 3



ср. 1979 N 1

больше, а в II — на 2% меньше, чем в I; такие изменения требуют очень небольших затрат энергии. Сравнение данных для II, IV и V показало, что для атома C выгоднее  $\sigma$ -протонирование, а для O —  $\pi$ -протонирование. Сдвиги энергий остовных электронов (энергии увеличиваются) C1s и O1s при протонировании I близки (10,8 и 10,0 эв). Отмечено сходство перераспределения электронной плотности при протонировании и ионизации I. При присоединении H<sup>+</sup> к V энергии связи уменьшаются. Сделан вывод, что при координации CO к сильным акцепторам  $\sigma$ -электронов энергии связи сильно увеличиваются. Подробно обсуждены изменения энергий релаксации при ионизации в рассмотренном ряду молекул.

В. Л. Лебедев

что

я г

CO

annuaire 1922

1978

$\text{C}^3\text{H}-\text{C}^3\text{H}$

Dietrich E; et al.

" $\text{g}_{\mu}$ ".

C. R. Acad. Sci., 1978, C 287

163 - 164

Formation d'oxyde de carbone  
à l'état triplet par...

CO

ommuck 6448

1978

Swivedi P.H., et al

Astrophys. J. Suppl. Ser.

1978, 36, 573-86

Rotational dependence of...

1978

CO

S<sub>2</sub>

current  
measured  
Thermal.

88: 97015m Thermoluminescence following UV irradiation of molecules trapped in rigid matrix at 6 K. Fournier, J.; Deson, J.; Lalo, C.; Vermeil, C. (Ec. Super. Phys. Chem. Ind., CNRS, Paris, Fr.). *Ber. Bunsenges. Phys. Chem.* 1978, 82(1), 100-1 (Eng). After 147-nm irradn. of a mixt. of 0.1% OCS in Ar matrix, an asym. emission was obsd. between 450 and 470 nm peaking at 456 nm; this observation is consistent with the dissocn. process  $OCS + h\nu \rightarrow CO(^1\epsilon^+) + S(^1S)$ . After irradn. the matrix was warmed and a thermoluminescence spectrum was obsd. (the  $S_2(B^2\Sigma_u \rightarrow X^3\Sigma_g)$  emission). This emission appeared from 10 K but the  $S_2$  emission never appeared during irradn. of the sample.

(41) 

C.A. 1978, 88, N14

CO

oimmea 6735 1978

$\mu$ , m.n.  
paekel  
noeljag.  
mefog SCF

Freaddy J. E. et al.  
Chem. Phys; 1978,  
31, 467 - 83

Omnibus 6298

1978

CO

Hase H.-L., et al

(2)

Theor. chim. acta, 1978,  
48, N 1, 44-57



(Cu H<sub>2</sub>O;  $\frac{7}{11}$ )

CO

Omniscience 6602

1978

89: 82221x High-accuracy analytic potential function for diatomic molecules; application to carbon monoxide. Huffaker, J. N. (Dep. Phys. Astron., Oklahoma Univ., Norman, Okla.). *J. Mol. Spectrosc.* 1978, 71, 160-74 (Eng). A method is presented for making the analytic perturbed-Morse-oscillator (PMO) potential as accurate as an RKR potential through the use of an explicit relation between coeffs. of the analytic RKR potential and PMO parameters. In addn., it is possible to include higher-order WKB effects in both RKR and PMO potentials via an iterative calen. Techniques are applied to the ground state of the CO mol.; results are compared with those of previous calens. and tested with a modified version of the Cooley-Cashion program.

Normal  
9P-454-3

C.A. 1978, 89, 110

CO

аннекс 6602

1978

3 Б72. Аналитическая потенциальная функция высокой точности для двухатомных молекул; применение к молекуле CO. Huffaker J. N. High-accuracy analytic potential function for diatomic molecules; application to CO. «J. Mol. Spectrosc.», 1978, 71, № 1—3, 160—174 (англ.)

Выведены общие ф-лы для аналитич. потенциальных ф-ций двухатомных молекул, в к-рых для расчета параметров возмущенного осциллятора Морзе (ВМО) используется их явная связь с коэф. потенциала Ридберга — Клайна — Риса (РКР). В кач-ве примера приводится расчет основного состояния молекулы CO, который сравнивается с имеющимися в литературе работами. 62-параметрич. потенциал ВМО для CO вплоть до уровня  $v=32$  в точках поворота совпадает с потенциалом РКР. Предложена итерац. процедура, позволяющая использовать для расчета потенциалов ВМО и РКР приближение ВКБ высших порядков.

Н. И. Бутковская

номенклатура  
р-ции

2.1979.№3

CO

аннекс 6602

1978

2 Д184. Аналитические потенциальные функции высокой точности для двухатомных молекул; применение к молекуле CO. Hufssaker J. N. High-accuracy analytic potential function for diatomic molecules; application to CO. «J. Mol. Spectrosc.», 1978, 71, № 1-3, 160—174 (англ.)

Номер  
ф-ции

Получены соотношения между коэф. аналитической потенц. ф-ции Ридберга—Клейна—Риса (т. е. коэф. разложения поворотных точек потенциала РКР) и коэф. возмущенного потенциала Морза  $V(r) = V_I \left[ y^2 + \sum_{n=4} b_n y^n \right]$ ;  $y = 1 - \exp[-a(r - r_I)]$ . Пред-

ложена итерационная процедура для построения возмущенного потенциала Морзе из потенциала РКР с учетом поправок высших порядков к приближению ВКБ.

Ф. 1979. 2

Процедура иллюстрирована на примере основного электронного состояния молекулы CO. Полученный возмущенный потенциал использован для вычисления  $E_v$  колебательных уровней с  $v \leq 28$  и зависимости вращательной постоянной  $B_v$  от  $v$ . Результаты расчета  $E_v$  и  $B_v$  из потенциалов РКР и Морзе согласуются между собой в пределах погрешностей измерений. М. Р. Алиев

CO

оптим 6879

1978

6 Б162. Система Герцберга молекулы  $^{12}\text{C}^{18}\text{O}$ .  
Janjić J. D., Conkić Lj. U., Pešić D. S., Ke-  
pa R., Rytel M. The herzberg system of  $^{12}\text{C}^{18}\text{O}$  mole-  
(англ.)  
куле. «J. Mol. Spectrosc.», 1978, 72, № 2, 297—300

Измерена система Герцберга (переход  $C^1\Sigma+ - A^1\Pi$ )  
в спектре испускания молекулы  $^{12}\text{C}^{18}\text{O}$  возбуждаемом  
в разрядной трубке с полым катодом (графит), запол-  
ненной кислородом (90%  $^{18}\text{O}_2$ ) ( $P=3$  мм). Приведены  
волновые числа линий вращательной структуры  $R$ ,  
 $Q$ - и  $P$ -ветвей и начала полос  $v'=0-v''=0-6$ . В по-  
лосах 0—0, 0—1 и 0—6 наблюдались возмущения свя-  
занные с состояниями  $e^3\Sigma^-$  и  $d^3\Delta$ . Определены значения  
 $B_e = 1,5385 \pm 0,0002 \text{ см}^{-1}$  и  $\alpha_e = 0,012170 \pm 0,000005 \text{ см}^{-1}$   
 $^{12}\text{C}^{18}\text{O}$  ( $A^1\Pi$ ).

Б. М. Ковба

2.1979, N6

CO

Фото 6879

1978

} ЗД300. Система полос Герцберга молекулы  $^{12}\text{C}^{18}\text{O}$ .  
Janjić J. D., Conkić Lj. U., Pešić D. S., Ke-  
pa R., Rytel M. The Herzberg system of  $^{12}\text{C}^{18}\text{O}$  mole-  
cule. «J. Mol. Spectrosc.», 1978, 72, № 2, 297—300  
(англ.)

Исследован эмиссионный спектр молекулы  $^{12}\text{C}^{18}\text{O}$ ,  
возбужденный в лампе с полым графитовым катодом,  
наполненной  $^{18}\text{O}_2$  (90%) при давлении 3 мм рт. ст.  
Выполнен анализ вращательной структуры полос  
 $0-v'$  с  $v' < 6$  системы электронного перехода  $\text{C}^1\Sigma^+ - \text{A}^1\Pi$   
в области  $27\ 362 - 18\ 095 \text{ см}^{-1}$ . Определены значения  
вращательной и центробежной постоянных:  
 $B_e = 1,5385 \text{ см}^{-1}$  для  $\text{A}^1\Pi$ .

М. Р. Алиев

9. 1979, № 3

CO

Commenc. 6879

1978

89: 120225m The Herzberg system of carbon monoxide ( $^{12}\text{C}^{18}\text{O}$ ) molecule. Janjic, J. D.; Conkic, L. U.; Pesic, D. S.; Kepa, R.; Rytel, M. (Fac. Nat. Sci., Univ. Novi Sad, Novi Sad, Yugoslavia). *J. Mol. Spectrosc.* 1978, 72(2), 297-300 (Eng). An anal. was made of the bands of the Herzberg system of the  $^{12}\text{C}^{18}\text{O}$  mol. and showed that in spite of the report by J. Janzic et al. (1972) of perturbation existence in the near  $B^1\Sigma^+$  state, the  $v = 0$  level in the  $C^1\Sigma^+$  state of  $^{12}\text{C}^{18}\text{O}$  is unperturbed within the limits of exptl. error. The wavenos. of the rotational structure of the measured bands are given. The rotational consts. of the  $C^1\Sigma^+$  state was computed by combining  $R(J)$  and  $P(J)$  lines and by forming  $\Delta_2 F'(J)$  differences.

M. N.

O.A., 1978, 89, N/14

CO

Lommeca 41651 1978

Ref. no.

Kendrich J.

Factors J. Phys. B: Atom.  
and Mol. Phys., 1978,  
11 (20),  L 601 - L 603.

CO

документ 7921

1979

22 Б162. Анализ системы Герцберга для молекул  $^{13}\text{C}^{16}\text{O}$  и частично  $^{12}\text{C}^{16}\text{O}$ . Кेяра R. The analysis of the Herzberg system in the  $^{13}\text{C}^{16}\text{O}$  and partly in the  $^{12}\text{C}^{16}\text{O}$  molecules. «Acta phys. Acad. sci. hung.», 1978, № 5, 133—147 (англ.)

Проанализирована колебательная и вращательная структура системы полос Герцберга (переход  $\text{C}^1\Sigma^+ - \text{A}^1\Pi$ ) в спектре испускания  $\text{CO}(^{12,13}\text{C})$  возбуждаемом в разрядной трубке с полым катодом. Табулировано положение линий  $R$ ,  $Q$  и  $P$ -ветвей вращательной структуры ( $I \leq 32$ ) полос  $v' = 0 - v'' = 0 - 6$  молекулы  $^{13}\text{C}^{16}\text{O}$  и полос 0—2 и 0—3 молекулы  $^{12}\text{C}^{16}\text{O}$ . Получены след. значения вращательных молек. постоянных  $^{13}\text{C}^{16}\text{O}$  (в  $\text{см}^{-1}$ ): состояние  $\text{C}^1\Sigma^+ - B_0 = 1,85847$ ,  $D_0 = 5,67 \times 10^{-6}$ , состояние  $\text{A}^1\Pi - B_1 = 1,5092$ ,  $B_2 = 1,4895$ ,  $B_3 = 1,4679$ ,  $B_4 = 1,4463$ ,  $B_5 = 1,64241$ ,  $B_6 = 1,3988$ . Колебательные постоянные  $\text{CO}(\text{C}^1\Sigma^+)$  сопоставляются со значениями  $\omega_e$  и  $\omega_{ex_e}$  для др. ридберговских состояний.

В. М. Ковба

документ 7922  
1979, № 22

CO

отмечено 7921

1978

11 Д463. Анализ системы Герцберга молекулы  $^{13}\text{C}^{16}\text{O}$  и, частично,  $^{12}\text{C}^{16}\text{O}$ . Кергера R. The analysis of the Herzberg system in the  $^{13}\text{C}^{16}\text{O}$  and partly in the  $^{12}\text{C}^{16}\text{O}$  molecules. «Acta phys. Acad. sci. hung.», 1978, 45, № 2, 133—147 (англ.)

Система Герцберга в спектре испускания: изотопич. молекул CO сфотографирована с дисперсией 0,6 Å. Для  $^{13}\text{C}^{16}\text{O}$  получены все 7 полос этой системы, тогда как для  $^{12}\text{C}^{16}\text{O}$  только полосы 0—2 и 0—3. Выполнен вращательный анализ спектров. Определены вращательные постоянные состояний  $C^1\Sigma^+$  и  $A^1\Pi$  и источники полос для перехода  $C^1\Sigma^+ - A^1\Pi$ . Уточнены значения колебательных постоянных в состоянии  $C^1\Sigma^+$ .

(М.Н)

Ф.1949.Н.11

CO

1978 7921

1978

90: 195005u Analysis of the Herzberg system in carbon monoxide  $^{13}\text{C}^{16}\text{O}$  and partly in  $^{12}\text{C}^{16}\text{O}$  molecules. Kepa, R. (At. Mol. Phys. Lab., Pedagog. Coll., Rzeszow, Pol.). *Acta Phys. Acad. Sci. Hung.* 1978, 45(2), 133-47. (Eng). In the emission spectra of the CO isotopic mols. the Herzberg bands at a 0.6 Å/ $\nu$  dispersion were obtained. For the  $^{13}\text{C}^{16}\text{O}$  mol., all 7 bands of this system were obtained and for the  $^{12}\text{C}^{16}\text{O}$  mol. the 0-2 and 0-3 bands only. A rotational anal. of these bands was performed and the following consts. were detd: the rotational consts. of the  $\text{C}^1\Sigma^+$  and  $A^1\Pi$  states, the band origins for the  $\text{C}^1\Sigma^+ - A^1\Pi$  transitions, and the new vibrational consts. for the  $\text{C}^1\Sigma^+$  state.

MN.

C.A. 1979, 90, N24

CO

1978

ЗД301. Системы полос  $E^1\Pi - A^1\Pi$  молекул  $^{13}\text{C}^{16}\text{O}$  и  $^{12}\text{C}^{18}\text{O}$ . Кępa R., Rytel M., Rzeszut Z. The  $E^1\Pi - A^1\Pi$  system bands in  $^{13}\text{C}^{16}\text{O}$  and  $^{12}\text{C}^{18}\text{O}$  molecules. «Acta phys. pol.», 1978, A54, № 3, 355—361 (англ.)

Исследованы эмиссионные спектры молекул  $^{13}\text{C}^{16}\text{O}$  и  $^{12}\text{C}^{18}\text{O}$  в обогащенных образцах в разрядной трубке Гэйслера. Выполнен анализ вращательной структуры полос 0—1, 0—2 и 1—0 системы электронного перехода  $E^1\Pi - A^1\Pi$ . Определены значения колебательно-вращательных постоянных состояния  $E^1\Pi$  этих молекул.

М. Р. Алиев

Ф. 1979, № 3

1978

CO

89: 188408d The E<sup>1</sup>II-A<sup>1</sup>II system bands in carbon monoxide (<sup>13</sup>C<sup>16</sup>O and <sup>12</sup>C<sup>18</sup>O) molecules. Kepa, R.; Rytel, M.; Rzeszut, Z. (At. Mol. Phys. Lab., Pedagogical Coll., Rzeszow, Pol.).

Acta Phys. Pol. A 1978, A54(3), 355-61 (Eng). The emission bands of the E<sup>1</sup>II A<sup>1</sup>II transition in isotopic CO mols. were obtained at high resoln. and analyzed. The bands 0-1, 0-2, and 0-1 were obtained for <sup>13</sup>C<sup>16</sup>O and <sup>12</sup>C<sup>18</sup>O mols., resp. A complete rotational anal. of these bands was performed and the fundamental consts. of the E<sup>1</sup>II state, i.e., the rotational, vibrational and  $\Lambda$ -doubling consts. were calcd. The values of the band origins for all the bands of both mols. were computed as well. The distance between the  $v = 0$  level in the E<sup>1</sup>II state and the  $v = 0$  level in the B<sup>1</sup> $\Sigma^+$  state was esp. accurately calcd. for all isotopic mols. analyzed so far.

C.A. 1978, 89, N 22

CO

функции  
 $\mu$  и  $E$

1 Б40. Теоретическое изучение функций дипольного момента молекул. II. Состояния  $d^3\Delta$  и  $a'^3\Sigma^+$  молекулы CO. Kigby K., Liu B. Theoretical study of molecular dipole moment functions. II. The  $d^3\Delta$  and  $a'\Sigma$  states of CO. «J. Chem. Phys.», 1978, 69, № 1, 200—203 (англ.)

Методом конфигурац. взаимодействия рассчитаны зависимости полной энергии и дипольного момента  $\mu$  от межъядерного расстояния  $R$  для состояний  $d^3\Delta$  и  $a'^3\Sigma^+$  молекулы CO. Использовано то же приближение, что и для основного состояния  $X^1\Sigma^+$  (см. пред. сообщ. «J. Chem. Phys.», 1977, 66, 4309). При помощи полиномиальной аппроксимации рассчитанных потенциальных кривых определены спектроскопич. постоянные и вычислены колебательные уровни энергии, к-рые согласуются с эксперим. данными с точностью 30—40 см<sup>-1</sup>. Функции дипольного момента  $\mu(R)$  возбужденных состояний ведут себя, как и в случае основного состояния. При малых  $R$  дипольный момент отвечает поляриности C-O<sup>+</sup> и уменьшается по абр. величине с ро-

2.1949.11

стом  $R$ . При значениях  $R$ , несколько больших равновесного, происходит изменение полярности ( $\text{C}^+\text{O}^-$ ), после чего  $\mu(R)$  возрастает, достигая максимума вблизи  $R=4$  ат. ед., а затем асимптотически приближается к нулю. При этом, за исключением очень малых  $R$ , линия  $\mu(R)$  для состояния  $d^3\Delta$  лежит выше кривой состояния  $a'^3\Sigma^+$ .

А. В. Абраменков



1978

CO

89: 138993v Theoretical study of molecular dipole moment functions. II. The  $d^3\Delta$  and  $a'^3\Sigma^+$  states of carbon monoxide. Kirby, K.; Liu, B. (Harvard-Smithsonian Cent. Astrophys., Cambridge, Mass.). *J. Chem. Phys.* 1978, 69(1), 200-3 (Eng). Approx. dipole moment functions for the  $d^3\Delta$  and  $a'^3\Sigma^+$  states of CO were calcd. by using CI wave functions including internal and semiinternal electronic correlation effects. The best theor. dipole moments for individual vibrational levels are in good agreement with exptl. data. The theor. dipole moment functions are of higher accuracy than those derivable from existing exptl. data.

JM

C.A. 1978, 29, N16

*CO*

*1978*

12 Д248. Теоретическое изучение функций молекулярных дипольных моментов. II.  $d^3\Delta$  и  $d'^3\Sigma$  состояния CO. Kirby K., Lin B. Theoretical study of molecular dipole moment function. II. The  $d^3\Delta$  and  $d'^3\Sigma^+$  states of CO. «J. Chem. Phys.», 1978, 69, № 1, 200—203 (англ.)

*M*

В интервале межатомных расстояний 1,6—20 ат. ед. рассчитаны значения дипольных моментов молекулы CO в возбужденных состояниях  $d^3\Delta$  и  $d'^3\Sigma^+$ . Расчеты проводились с ф-циями метода КВ двух типов, отличающихся числом и видом учитываемых конфигураций. Вычисленные равновесные расстояния обоих состояний с точностью до 0,01 ат. ед. совпадают с соответствующими эксперим. значениями, а эн ergии диссоциации несколько завышены. Отмечено большое сходство в поведении ф-ций дипольных моментов  $\mu(R)$  возбужденных состояний  $d^3\Delta$  и  $d'^3\Sigma^+$  и  $\mu(R)$  основного состояния  $X'\Sigma^+$ . При  $R < 3$  ат. ед.  $\mu(R)$  соответствует распределению зарядов C-O<sup>+</sup>; при больших  $R$  полярность CO меняется на противоположную. Ч. I K. Kirby-Docken, B. Lin, «J. Chem. Phys.», 1977, 66, 4309.

О. В. Сизова

*апр. 1978, № 2*

CD.

assmen 7031

1978

Letokhov I.S.

$A' \pi < x^B \times$

светодиоды.  
Логотип.

Optics and Laser  
Technology, 1978,  
247 - 56

Laser spectroscopy...

CO

1978

Makushkin Yu. S. et al

Opt. Spektrosk 1978, 44(1),  
73-80 (Russ.)

M.N.

numerous groups



cell. HCl - II

Omnitech 8302

1978.

CO

$d^3S$ ;  $e^3\Sigma^+$

nomerical  
method

Mohammad S. Noor

Indian J. Pure & Appl.  
Phys., 1978, 16(8), p761.

REINHOLD 7755

1978

CO

CS

SiO

S<sub>2</sub>S

1st. row  
series, etc.

90: 76861k Core pseudopotential valence electron calculations on diatomic molecules containing second-row atoms. Nagy-Felsobuki, Ellak; Peel, J. Barrie (Dep. Phys. Chem., La Trobe Univ., Bundoora, Aust.). *J. Chem. Soc., Faraday Trans.* 2 1978, 74(12), 2204-9 (Eng). A valence-electron-only model potential, incorporated in the GAUSSIAN 70 computer program, was tested by calcns. of the orbital energies and equil. bond lengths of the multiple-bonded diat. mols. CO, CS, SiO, and S<sub>2</sub>S using both the STO-3G and STO-6G min. basis sets. The model potential procedure shows a uniform performance for both 1st- and 2nd-row atoms. A comparison of CS with CH<sub>2</sub>S and MeSH indicates that the procedure accurately reflects the change in mol. structure within the series.

(+3)

Δ



C.A.1979, 90, NYC

*CO*

*CS*

*SiO*

*SiC*

*CH<sub>2</sub>S*

*CH<sub>2</sub>SH*

*Кв. исх.  
расчет*

*р. 1979, N 15*

*Хартри-Фока*

*атомные*

*(45) 87*

1978

15 Б17. Расчеты в валентном приближении с использованием оставного псевдопотенциала двухатомных молекул, содержащих атомы третьего периода. Nagy-Felso buki Ellak, Peel J. Vaggie. Core pseudo-potential valence electron calculations on diatomic molecules containing second-row atoms. «J. Chem. Soc. Faraday Trans.», 1978, Part 2, № 12, 2204—2209 (англ.)

Методом Хартри—Фока в приближении псевдопотенциала проведены расчеты энергетич. и структурных характеристик молекул CO, CS, SiO, SiC, CH<sub>2</sub>S, CH<sub>3</sub>SH. Использованы атомные псевдопотенциалы в форме, предложенной Бонифачичем и Хузинагой (с проектированием на орбитали остова). Параметры псевдопотенциалов подобраны так, чтобы энергии атомов совпадали с соответствующими величинами, найденными ограниченным методом Хартри—Фока с учетом всех электронов. Вычисления проведены с базисами СТО-3 ГФ и СТО-6 ГФ с одинаковыми показателями экспонент для s и p-функций. Полученные значения равновесных межъядерных

расстояний двухатомных молекул отличаются от данных неэмпирич. расчетов и эксперим. данных не более чем на 0,04 Å. Отличия псевдопотенциальных орбитальных энергий от соотв-щих неэмпирич. величин не превышают 0,05 ат. ед. (среднее отклонение составляет 0,014 ат. ед.). Согласие с результатами неэмпирич. расчетов для плотностей заряда и дипольных моментов значительно хуже. Для многоатомных молекул CH<sub>2</sub>S и CH<sub>3</sub>SH различия в полных энергиях и длинах связей C—S составляют 0,016 и 0,02 ат. ед., соотв. Отмечено что в приближении псевдопотенциала (в сочетании с теоремой Кулманса) порядок потенциалов ионизации σ- и π-состояний предсказывается правильно для молекулы CO и неправильно для молекулы CS.

А. В. Немухин



1978

CD

Norton P.R., et al.

Chem. Phys. Lett. 1978,

53, N3, 465-470

pomoximus

cat. N<sub>2</sub> -  $\bar{II}$

CO

HBr

HI

OH

i

M.N.

(+3)

CM. 6067

1978

88: 96764t Dunham energy parameters of isotopic carbon monoxide, hydrogen halide, and hydroxyl radical molecules. Ogilvie, J. F. (Dep. Chem., Kuwait Univ., Kuwait, Kuwait). *J. Mol. Spectrosc.* 1978, 69(2), 169-72 (Eng). Dunham potential energy coeffs.  $a_1-a_6$  for  $^{12}\text{C}^{16}\text{O}$ ,  $^{13}\text{C}^{16}\text{O}$ ,  $^{12}\text{C}^{18}\text{O}$ ,  $\text{H}^{\text{81}}\text{Br}$ , HI, and OH were calcd., including error limits, from published exptl. spectroscopic data. There is no indication of deviation from Born Oppenheimer behavior for  $a_1-a_6$  of the CO mols., and the mass-independent internuclear sepn.  $R_e$  and force consts.  $k_e$  and  $a_0$  were also calcd.

XI - 5934

C.A. 1978, 88, 114

CO

HBr

HJ

OH

Чт, си. № 6.

ч. п.

(42) 8

ф. 1978, № 9

отмечей 6067  
XI - 5934

1978

9 Д158. Данхэмовские энергетические параметры (молекул) изотопов окиси углерода, галоидогидридов и гидроксила. Og ilvie J. F. Dunham energy parameters of isotopic carbon monoxide, hydrogen halide, and hydroxyl radical molecules. «J. Mol. Spectrosc.», 1978, 69, № 2, 169—172 (англ.)

По известным экспериментальным спектроскопич. данным найдены параметры Данхэма  $a_1$ — $a_6$  для молекул  $^{12}\text{C}^{16}\text{O}$ ,  $^{13}\text{C}^{16}\text{O}$ ,  $^{12}\text{C}^{18}\text{O}$ , H<sup>81</sup>Br, HJ и OH в основном электронном состоянии. Эти параметры для различных изотопич. модификаций окиси углерода совпадают в пределах ошибок определения. Приведены также вычисленные значения массово-независимых межъядерных расстояний, силовых постоянных и параметров  $a_0$  для рассматриваемых молекул, а для HBr, HJ и OH вычисленных и эксперим. значений коэф.  $Y_{ij}$ . Р. Мухтаров

Отмечено 6067

1978

CO

15 Б79. Энергетические параметры Данхэма для изотопных молекул окиси углерода, галогенводородов и гидроксильного радикала. Og ilvie J. F. Dunham energy parameters of isotopic carbon monoxide, hydrogen halide, and hydroxyl radical molecules. «J. Mol. Spectrosc.», 1978, 69, № 2, 169—172 (англ.).

С использованием новейших спектроскопич. данных вычислены коэф.  $a_0$ — $a_6$  потенциальной ф-ции Данхэма для молекул  $^{12}\text{C}^{16}\text{O}$ ,  $^{13}\text{C}^{16}\text{O}$ ,  $^{12}\text{C}^{18}\text{O}$ , Н<sup>81</sup>Br, НJ и ОН. Различия в коэф.  $a_1$ — $a_6$  для изотопных молекул CO не превосходят стандартных отклонений, обусловленных эксперим. ошибками, тогда как у  $a_0$  наблюдается заметная зависимость от масс ядер. Изотопически инвариантные значения коэф.  $a_0$ , силовой постоянной  $K_e$  и равновесного межъядерного расстояния  $R_e$  получены методом Ресса («Opt. Commun.», 1974, 12, 433). В случае НВг, НJ и ОН точность определения  $a_5$  и  $a_6$  недостаточна для того, чтобы судить об истинных величинах этих коэффициентах. Вычисленные значения коэф. Данхэма и спектроскопич. постоянных табулированы с указанием станд. отклонений. А. В. Абраменков.

Рассчитан  
Когда. (X)  
Данхэм

18

Х, 1978, N 15

1978

CO

Park, Jae H.

From Sci. Tech. Aerosp. Rep.

1978, 16(3), Abstr. No. N78-12608.

cat. H<sub>2</sub>O - II

1978

CO  
 $(Ar^+)$

Politzer P., et al.,  
"J. Chem. Phys.", 1978, 68,  
N<sup>H</sup>, 5289 - 5291.

• (all. OH<sup>-</sup>; III)

2-X-Substituted Phenyl CO 1948  
Chemical 6791

Ramakrishna et al.

unpublished  
notes

Chem. Phys. Lett. 1948,  
57, N4, 557-60

coll.  $H_2 - \bar{H}$

CO

Kb. Mex.

pacret,

do, 2e

Ringers A.A., et al

1978

avail. NTIS. From Gov.  
Rep. Announce. Index  
(U. S.) 1978, 48(10), 116

(Civ. NO; III)

CO

1978

Sakai R. et al

Infrared Phys., 1978, 18, n5-6,  
577-583,

Chemical  
nomenclature.



(aer. H<sub>2</sub>O;  $\text{m}^{\prime \prime}$ )

Commenced 8/96 1978

CO

CO<sup>+</sup>

M. N.

(+)



C.A. 1979, QD, N22

90: 177541m New emission bands of carbon monoxide (CO and CO<sup>+</sup>). Singh, N. P.; Singh, I. S. (Dep. Phys., Banaras Hindu Univ., Varanasi, India). *Curr. Sci.* 1978, 48(6), 235-7 (Eng). Some new electronic band systems in CO and CO<sup>+</sup> were obsd. in emission, using a high-voltage (30 kV) d.c. discharge through relatively low-pressure CO<sub>2</sub>. The emission spectrum (2100-5600 Å) was photographed on Hilger large quartz, Steinheil 2 prism quartz and Bausch and Lomb 1.5-in. grating spectrographs. In addn. to the band systems usually obsd. in this region for CO and CO<sup>+</sup>, ~55 new bands were photographed. The majority of the new bands could be arranged in 3 band systems, 2 of which are proposed to be due to CO and 1 band system to CO<sup>+</sup>. Vibrational consts. of the 3 band systems were detd.

1978

CD

Марасов Ю. В.

орг. т. "Мр. Моск. физ.-техн. ин-та".  
запись  
справок. Сеп. Октябрь в макетах. приг."  
стрижка 1978, №10, 154-58

ав. № - 55

1979

CO

CO<sup>+</sup>

М, Н.

11 Д462. Новые полосы испускания молекулы CO и иона CO<sup>+</sup>. Singh N. P., Singh I. S. New emission bands of CO and CO<sup>+</sup>. «Curr. Sci. (India)», 1978, 48, № 6, 235—237 (англ.)

В области 2100—5600 Å со средним разрешением сфотографирован спектр излучения высоковольтного (30 кэв) разряда в CO<sub>2</sub>. Наряду с хорошо известными, обнаружены 55 новых полос CO и CO<sup>+</sup>. Большинство новых полос принадлежит трем системам, две из которых связаны с CO и одна с CO<sup>+</sup>. Определены колебательные постоянные для новых систем. Библ. 48.

Б. С. Иванов

(+) ☒



Ф. 1979, № 1

CO

Connexea 6745

1978

Tasic M., et al.

Can. J. Chem., 1978, 56

(11), 1582 - 85

Les fonctions de Hartree -  
Fock Slater ● comme ...

CO

1978

24 Б1403. Процессы переноса энергии в молекулах  $^{13}\text{C}^{16}\text{O}$  и  $^{12}\text{C}^{18}\text{O}$  ( $A^1\Pi$ ,  $v'=13$ ), возбужденных монохроматическим светом. Vikis A. C. Energy transfer processes in monochromatically excited  $^{13}\text{C}^{16}\text{O}$  and  $^{12}\text{C}^{18}\text{O}$  ( $A^1\Pi$ ,  $v'=13$ ) molecules. «J. Photochem.», 1978, 9, № 2-3, 132—133 (англ.)

излучение  
переноса  
энергии

Излучение Кт на узкой необращенной резонансной линии 123,58 нм возбуждает только переход  $A^1\Pi - X^1\Sigma^+$  (13,0) Q (13) молекулы  $^{13}\text{C}^{16}\text{O}$ . Изучение Кт на более широкой обращенной линии 123,58 нм возбуждает переходы  $A^1\Pi - X^1\Sigma^+$  (13,0) P (11), Q (13) и R (15) молекулы  $^{13}\text{C}^{16}\text{O}$  и переходы P (10), Q (11) и R (14) молекулы  $^{12}\text{C}^{18}\text{O}$ . Возбужденные молекулы  $^{13}\text{C}^{16}\text{O}$  и  $^{12}\text{C}^{18}\text{O}$  флуоресцируют в резонансных переходах  $A^1\Pi - X^1\Sigma^+$  (13,  $v''$ ) в спектральной области 200—310 нм. Изучена дезактивация электронного возбуждения состояния  $A^1\Pi$ ,  $v'=13$  и вращательная релаксация в зависимости от давл. различных газов. Состояние  $^{13}\text{C}^{16}\text{O}$  ( $A^1\Pi$ ,  $v'=13$ ) тушится след. молекулами (указана сечения тушения  $\sigma_q = k_q/c$  в  $\text{A}^2$ , где  $k_q$  — константа скорости тушения,  $c$  — скорость света):  $^{13}\text{C}^{16}\text{O}$  198;  $^{12}\text{C}^{18}\text{O}$  38,0;  $^{12}\text{C}^{16}\text{O}$  57,1;  $\text{CO}_2$  119;  $\text{O}_2$

Х-1978, № 4

43; N<sub>2</sub> 78,5; H<sub>2</sub> 19,0; D<sub>2</sub> 29,3; He <0,4; Ar 3,23; Xe 114.  
Состояние <sup>12</sup>C<sup>18</sup>O ( $A^1\Pi$ ,  $v'=13$ ) тушится след. молекулами: <sup>12</sup>C<sup>18</sup>O 257; <sup>12</sup>C<sup>16</sup>O 28,0. Для вращательной релаксации <sup>13</sup>C<sup>16</sup>O ( $A^1\Pi$ ,  $v'=13$ ,  $J'=13$ ) получены значения  $\sigma(A^2)$ : He 3; <sup>13</sup>C<sup>16</sup>O 16; <sup>12</sup>C<sup>18</sup>O 16. Сечения тушения состояния  $A^1\Pi$ ,  $v'=13$  различными молекулами коррелируют с доступностью подходящих электронных состояний и(или) каналов хим. р-ций. Сильная зависимость  $\sigma$  дезактивации электрического возбуждения состояния  $A^1\Pi$ ,  $v'=13$  от изотопного состава молекулы тушителя CO приписана быстрым процессам переноса энергии между состоянием  $A^1\Pi$   $v'=13$  и рядом соседних электронных состояний ( $a^3\Pi$ ,  $a'^3\Sigma^+$ ,  $d^3\Delta_i$ ,  $e^3\Sigma^-$ ,  $I^1\Sigma^-$ ,  $D^1\Delta$ ), к-рые, как известно из спектроскопич. данных, оказывают возмущающее действие на  $A^1\Pi$ -состояние молекулы CO.

В. Е. Скурат



CO

1978

89: 154957s Electronic excitation of the  $A^1\Pi$  and  $b^3\Sigma^+$  states of carbon monoxide ( $^{12}\text{C}^{16}\text{O}$ ,  $^{13}\text{C}^{16}\text{O}$  and  $^{12}\text{C}^{18}\text{O}$ ) by krypton( $^3P_1$ ) and Kr( $^1P_1$ ). Vikis, A. C. (Div. Chem., Natl. Res. Coun. Canada, Ottawa, Ont.). *J. Photochem.* 1978, 9(2-3), 154-5 (Eng). Kr  $^3P_1$  and  $^1P_1$  atoms, formed by resonance absorption of 123.58- and 116.48-nm radiation by ground state Kr, sensitize the  $A^1\Pi$ - $X^1\Sigma^+$  and  $b^3\Sigma^+$ - $a^3\Pi$  fluorescence of CO. The Kr( $^3P_1$ ) state excited preferentially the  $A^1\Pi v' = 13$  state of  $^{13}\text{C}^{16}\text{O}$  and  $^{12}\text{C}^{18}\text{O}$  by a resonance energy transfer process. The Kr( $^1P_1$ ) state excites indiscriminately the  $b^3\Sigma^+$  state of all 3 isotopic mols. The population ratio of the 2 accessible vibrational levels of the  $b^3\Sigma^+$  state  $N(1)/N(0)$ , was 0.17 for all 3 isotopic mols. Energy transfer in the latter case proceeds by a nonresonance mechanism due to the forbidden character of the  $b^3\Sigma^+$ - $X^1\Sigma^+$  transition. The vibrational distribution of the  $b^3\Sigma^+$  state and the lack of resonance behavior is indicative of strong interaction between the energy donor and the energy acceptor similar to energy transfer reactions of rare gas and Hg metastables.

Creek of  
 Kreef daffers.  
 bozdyneg.



C.A. 1978, 89, N18

CO

1978  
1978  
I B1338. Электронное возбуждение состояний  $A^1\Pi$  и  $b^3\Sigma^+$  молекул  $^{12}\text{C}^{16}\text{O}$ ,  $^{13}\text{C}^{16}\text{O}$  и  $^{12}\text{C}^{18}\text{O}$  атомами  $\text{Kr}(^3P_1)$  и  $\text{Kr}(^1P_1)$ . Vikis A. S. Electronic excitation of the  $A^1\Pi$  and  $b^3\Sigma^+$  states of  $^{12}\text{C}^{16}\text{O}$ ,  $^{13}\text{C}^{16}\text{O}$  and  $^{12}\text{C}^{18}\text{O}$  by  $\text{Kr}(^3P_1)$  and  $\text{Kr}(^1P_1)$ . «J. Photochem.», 1978, 9, № 2—3, 154—155 (англ.)

Показано, что атомы  $\text{Kr}(^3P_1)$  и  $\text{Kr}(^1P_1)$  сенсибилизируют флуоресценцию CO в переходах  $A^1\Pi - X^1\Sigma^+$  и  $b^3\Sigma^+ - a^3\Pi$ . Состояние  $\text{Kr}(^3P_1)$  возбуждает преимущественно состояние  $A^1\Pi$ ,  $v' = 13$  молекул  $^{13}\text{C}^{16}\text{O}$  и  $^{12}\text{C}^{18}\text{O}$  по механизму резонансного переноса энергии. Такой перенос не происходит между  $\text{Kr}(^3P_1)$  и  $^{12}\text{C}^{16}\text{O}$ . Анализ энергетич. уровней всех трех изотопных разновидностей CO показывает, что в случае  $^{13}\text{C}^{16}\text{O}$  и  $^{12}\text{C}^{18}\text{O}$  имеется несколько близких к резонансу переходов ( $\Delta E < 50 \text{ см}^{-1}$ ) с небольшими изменениями  $|\Delta J|$ , начинающихся с низких вращательных уровней, к-рые обладают высокой заселенностью при комн. т-ре. В то же время  $^{12}\text{C}^{16}\text{O}$  может возбуждаться атомами  $\text{Kr}(^1P_1)$  в резонансном процессе лишь в переходах с малыми  $|\Delta J|$ , но начинающихся со слабо заселенных высоких вращательных уровняй, или же в переходах, начинающихся с низких вращательных уровняй, но с большими  $|\Delta J|$ . Ни один из этих процессов не имеет большой вероятности, что находится в согласии с экспериментом. Атомы  $\text{Kr}(^1P_1)$

Задокументировано  
в 1979 г.

Х-1979, №1

возбуждают  $b^3\Sigma$ -состояние молекул всех трех типов, причем отношение заселенностей нижних колебательных уровней  $N(1)/N(0)$  равно 0,17 для всех трех изотопных разновидностей. Предположено, что этот процесс переноса энергии не является резонансным ввиду запрещенного характера перехода  $b^3\Sigma^+ - X^1\Sigma^+$ . По-видимому, между донором и акцептором энергии имеется сильное взаимодействие, аналогичное наблюдавшемуся ранее для переноса энергии между атомами редких газов и метастабильными возбужденными атомами ртути.

В. Е. Скурат

гу  
да и  
спе

отмечено 6789

1978

С7

4 Б123. Флуоресценция ( $A^1\Pi - X^1\Sigma^+$  и  $b^3\Sigma^+ - a^3\Pi$ )-  
 $^{12}\text{C}^{16}\text{O}$ ,  $^{13}\text{C}^{16}\text{O}$  и  $^{12}\text{C}^{18}\text{O}$ , возбуждаемая Кг( $^3P_1$ ) и Кг( $^1P_1$ ).  
Vikis A. C. Sensitized fluorescence ( $A^1\Pi - X^1\Sigma^+$  and  
 $b^3\Sigma^+ - a^3\Pi$ ) of  $^{12}\text{C}^{16}\text{O}$ ,  $^{13}\text{C}^{16}\text{O}$ , and  $^{12}\text{C}^{18}\text{O}$  by Kr( $^3P_1$ ) and  
Kr( $^1P_1$ ). «Chem. Phys. Lett.», 1978, 57, № 4, 522—525  
(англ.)

Приведены результаты изучения флуоресценции различных изотопных модификаций CO, возбуждаемой при столкновениях с атомами Kr в состояниях  $^3P_1$  и  $^1P_1$ , или при непосредственном облучении криптоновой лампой. Обнаружено, что состояние  $A^1\Pi v^1 = 13$   $^{13}\text{C}^{16}\text{O}$  и  $^{12}\text{C}^{18}\text{O}$  находится в резонансе с состоянием  $^3P_1$  Kr, а состояния  $b^3\Sigma^+ v' = 0$  и  $v' = 1$   $^{12}\text{C}^{16}\text{O}$ ,  $^{13}\text{C}^{16}\text{O}$  и  $^{12}\text{C}^{18}\text{O}$  возбуждаются при нерезонансном взаимодействии с Kr ( $^1P_1$ ). Обсуждается возможность применения резонансного возбуждения  $^{13}\text{C}^{16}\text{O}$  и  $^{12}\text{C}^{18}\text{O}$  для разделения изотопов в природном CO. Указывается, что использование смесей CO с Kr более эффективно, чем освещение чистого CO резонансной линией криптоновой лампы, поскольку коэф. поглощения Kr значительно выше, чем CO.

Л. В. Серебренников

2.1949.14

XIV — 22192

CO

Omnibus 6789  
XIV-92482 1978

89: 171275k Sensitized fluorescence ( $A^1\Pi$ - $X^1\Sigma^+$  and  $b^3\Sigma^+$ - $a^3\Pi$ ) of carbon monoxide ( $^{12}\text{C}^{16}\text{O}$ ,  $^{13}\text{C}^{16}\text{O}$ , and  $^{12}\text{C}^{18}\text{O}$ ) by krypton( ${}^3P_1$ ) and -( ${}^1P_1$ ). Vikis, A. C. (Div. Chem., Natl. Res. Coun. Canada, Ottawa, Ont.). *Chem. Phys. Lett.* 1978, 57(4), 522-5 (Eng). The Kr( ${}^3P_1$ ) state excites preferentially the  $A^1\Pi$   $v' = 13$  state of  $^{13}\text{C}^{16}\text{O}$  and  $^{12}\text{C}^{18}\text{O}$  by a resonance process. No resonance energy transfer was obsd. between Kr( ${}^3P_1$ ) and  $^{12}\text{C}^{16}\text{O}$ . The Kr( ${}^1P_1$ ) state excites the  $b^3\Sigma^+$   $v' = 0$  and  $v' = 1$  states of  $^{12}\text{C}^{16}\text{O}$ ,  $^{13}\text{C}^{16}\text{O}$ , and  $^{12}\text{C}^{18}\text{O}$  by a non-resonance process.

Check  
priorities.

C.A. 1978, 89, N20

CO

000000006122

1978

Vicci et al.

Chem. Phys. Lett

1978, 53 (3), 565-67

$^{13}\text{CO}$  isotope enrichment  
in the photolysis of CO ...

CO

Омисси 7566

1978

1Д849. Возбуждение монохроматическим излучением полосы  $A^1\Pi \rightarrow X^1\Sigma^+$  молекул  $^{13}\text{C}^{16}\text{O}$  и  $^{12}\text{C}^{18}\text{O}$ . Vikiis A. S. Monochromatic excitation of the  $A^1\Pi - X^1\Sigma^+$  (13,0) band of  $^{13}\text{C}^{16}\text{O}$  and  $^{12}\text{C}^{18}\text{O}$ . «J. Chem. Phys.», 1978, 69, № 2, 697—702 (англ.)

Получены спектры флуоресценции молекул  $^{13}\text{C}^{16}\text{O}$  и  $^{12}\text{C}^{18}\text{O}$  в газовой фазе при давлении  $\sim 1$  мм рт. ст. Флуоресценция возбуждалась резонансным Кг-источником света ( $\lambda = 123,58$  нм). Установлено, что возбуждение узкой и широкой линиями (от 10 до 20  $\text{см}^{-1}$ ) приводит к испусканию полосы  $A^1\Pi \rightarrow X(1,3, v'')$ . Показано, что флуоресценция молекул  $^{12}\text{C}^{16}\text{O}$  соответствует в этой области (ширина  $\sim 10$   $\text{см}^{-1}$ ) излучательному распаду высоколежащих вращательных уровней, не заселяющихся при комнатной т-ре. Излучение, отнесенное ранее другими авторами к полосе  $A \rightarrow X(13, v'')$   $^{12}\text{C}^{16}\text{O}$ , по-видимому, связано с присутствием примесных линий CO в использовавшихся источниках света. Обсуждены проблемы фотохимич. обогащения CO. Библ. 16.

Ф. 1979, № 2

CO (кв. их. расчет)

1978

O<sub>2</sub>

SO<sub>2</sub>

NiO

NiCH<sub>2</sub>  
Ni(CH<sub>3</sub>)<sub>2</sub>

апр. 1978, № 2

12 Д 179. Неэмпирические расчеты и расчеты в приближении псевдопотенциала некоторых молекул, образованных элементами второго, третьего и четвертого периодов. Сравнительное изучение. Wahlgren Ulf. Ab-initio and pseudo-potential calculations on some first, second and third row molecules. A comparative study. «Chem. Phys.», 1978, 32, № 2, 215—221 (англ.)

Проведен сравнительный анализ результатов неэмпирических расчетов и расчетов с псевдопотенциалом Филлипса — Клеймана молекул CO, O<sub>2</sub>, SO<sub>2</sub>, NiO, NiCH<sub>2</sub>, Ni(CH<sub>3</sub>)<sub>2</sub> и атомов Ni и Mn. Сравнение результатов двух расчетов проведено по геометрическим параметрам и орбитальным энергиям. Наиболее чувствительными к выбору параметров псевдопотенциала оказались геометрические параметры соединений, включающих углерод, что приписывается эффектам гибридизации. По этой причине рекомендуется оптимизировать параметры псевдопотенциала для валентного электронного состояния атома углерода. Орбитальные энергии валентных электронов полученные методом псевдопотенциала, хорошо согласуются с хартри-фоковскими энергиями для всех изученных молекул и атомов.

А. Дементьев

(75)

CO

O<sub>2</sub>

Гавасъ,  
Гершфельд  
кв. мк. физ.

(44)

1978

1. Б48. Неэмпирические и псевдопотенциальные расчеты некоторых молекул, содержащих атомы второго, третьего и четвертого периодов. Сравнительное исследование. Wahlgren Ulf. Ab-initio and pseudo-potential calculations on some first, second and third row molecules. A comparative study. «Chem. Phys.», 1978, 32, 215—221 (англ.)

Проведены расчеты энергии и равновесных геометрич. конфигураций молекул CO, O<sub>2</sub>, SO<sub>2</sub>, NiO, NiCH<sub>2</sub>, Ni(CH<sub>3</sub>)<sub>2</sub>, а также атомов Ni и Mn. Сопоставлены между собой результаты неэмпирич. расчета с учетом всех электронов в системе и расчетов в приближении псевдопотенциала. Использованы выражения для псевдопотенциалов в форме Бонифачича — Хузинаги, но с другой параметризацией. Базисные наборы для расчетов с псевдопотенциалами составлены из орбиталей 2s- и 2p-типа для атомов второго и третьего периодов, 3s- и 2d-типа для металлов и 4s- и 2d-типа для никеля. На основе полученных результатов сформулированы след. выводы. Значения энергии и геометрич. параметров оказываются значительно чувствительнее к

2.1979, N1

параметрам псевдопотенциала в случае молекул, содержащих атомы углерода, чем в случае молекул, содержащих атомы кислорода или серы. Для атомов третьего периода базисные наборы должны содержать более двух функций на каждую электронную оболочку. При расчетах св-в металлов необходимо пользоваться небольшими базисными наборами, чтобы избежать вариаций коллапса для состояний с низкой симметрией.

Л. В. Немухин

рем»  
энер

данные 7368

1978

CO

6 Д415. Электронная спектроскопия автоионизационных состояний молекулы CO с использованием тех-

ники электрон-электронных совпадений. Wilden David G., Hicks Peter J., Comer John, Weingartshofer Antonio. Ejected-electron spectroscopy of autoionising states of CO using an electron-electron coincidence technique. «J. Phys.», 1978, B11, № 21, 3693—3706 (англ.)

В области 15—16 эв получены спектры энергетич. потерь электронов в CO при давлении 0,1 мм рт. ст. С использованием техники регистрации совпадений упругорассеянных электронов и электронов, отщепляемых в процессе ионизации молекул CO, получены параметры сверхвозбужденного состояния ридберговской серии, сходящейся к состоянию  $A^2\Pi$  иона  $CO^+$ . Показано, что использованный метод и метод фотоэлектронной спектроскопии в газовой фазе дают аналогичную информацию при исследовании сверхвозбужденных состояний. Библ. 22.

М. Т.

Электр.  
спектроск.

9.1979 N6

1978

CO

11 Б98. Использование метода электрон-электронных совпадений в электрон-инжекционной спектроскопии автоионизированных состояний CO. Wilden David G., Hicks Peter J., Comer John, Weingartshofer Antonio. Ejected-electron spectroscopy of autoionising states of CO using an electron-electron coincidence technique. «J. Phys.», 1978, B11, № 21, 3693—3706 (англ.)

Спектр № 368

Октябрь 1978

Измерены спектры энергетич. потерь электронов выше порога ионизации и спектры электрон-электронных совпадений в CO. В спектре энергетич. потерь ( $\Delta E = 14-18$ ,  $E = 50$  эв, угол рассеяния  $0^\circ$ , разрешение 0,030 эв) наблюдались прогрессии полос, отнесенные к ридберговским переходам  $1\pi \rightarrow ns\sigma$ ;  $1\pi \rightarrow nd\pi$  ( $n=3-8$ ,  $v'=0-4$ ). Часть наблюдаемых пиков в интервале  $\sim 15,0-16,0$  эв исследована методом электрон-электронных совпадений, при этом порознь регистрировались рассеянные электроны, возбуждающие отдельные автоионизированные уровни CO, и электроны, испускаемые в результате автоионизаций процессов. Измерены отно-

x.1979, N11

сит. интенсивности полос переходов, связанных с пусканием электрона в результате автоионизации молекулы CO с переходом на различные колебательные состояния основного электронного состояния  $\text{CO}^+$ . Эти значения интенсивностей согласуются с расчетными, полученными в приближении Франка-Кондона с использованием потенциалов Морзе. При этом предполагалось, что равновесное межъядерное расстояние для автоионизированных состояний составляет 1,243 Å, т. е. очень близко к значению  $R$  для  $\text{CO}^+$  в состоянии  $A^2\pi$ ; последнее, вероятно, является пределом наблюдавшихся ридберговских серий. Полученные данные сопоставлены с результатами исследований фотоэлектронных спектров и спектров фотонеионизации.

В: М. Ковба



CO

CO<sub>2</sub>

кв. мек.  
расчет

(+) □

1 Д105. Критический анализ неэмпирической схемы NDDO на примере расчетов молекул CO и CO<sub>2</sub>. Зюбин А. С., Клименко Н. М., Чаркин О. П. «Ж. структур. химии», 1978, 19, № 4, 579—586

На примере расчетов молекул CO и CO<sub>2</sub> показано, что основным принципиальным недостатком схемы NDDO является невозможность в ее рамках достаточно простым способом учесть нескомпенсированные трехцентровые вклады в недиагональные элементы фокиана, поскольку величины таких вкладов могут достигать 0,1—0,2 а. е. На основе предположений о величинах и степени скомпенсированности трехцентровых вкладов для соединений различных типов обсуждаются границы применимости схемы NDDO. Резюме

1978

sp., 1949, N1

1979

CO  
9 Б10. Расчеты одноэлектронных свойств молекулы CO в зависимости от межъядерного расстояния методами ССП и КВ. Amos Roger D. SCF and CI calculations of the one-electron properties of carbon monoxide as a function of internuclear distance. «Chem. Phys. Lett.», 1979, 68, № 2—3, 536—539 (англ.)

Методами ССП и КВ проведены расчеты электронного строения и нек-рых физ. одноэлектронных св-в молекулы CO. В расчетах волновых ф-ций использован базисный набор  $5s\ 4p\ 2d$ -ГФ на обоих атомах, состоящий из сокращенного набора  $5s4p$  Даннинга с двумя поляризац.  $d$ -ф-циями ОСТ-2ГФ (с экспонентами 2,6 и 0,15 на O и 2,15 и 0,08 на C). В разложении КВ учтены все одно- и двукратные возбуждения из хартифоковской конфигурации (2801 конф.). Рассчитаны дипольный, квадрупольный, октупольный и гексадека-

III, 17  
1980 N 9  
Amos Roger D.  
SCF and CI calculations of the one-electron properties of carbon monoxide as a function of internuclear distance.

2.1980 N 9

полярные моменты, градиент электрич. поля на атоме кислорода, намагниченность и компоненты тензора ядерного магнитного экранирования. Расчеты проведены не только для найденного равновесного расстояния 2,132 ат. ед. (1,128 Å), но и для интервала 1,832—2,432 ат. ед. Найдена колебательная структура и найдена зависимость вычисл. св-в от последней. Для всех рассмотренных св-в, кроме дипольного момента, в рамках КВ получено хорошее согласие с эксперим. значениями.

С. Долин

*CO*

92: 66970x SCF and CI calculations of the one-electron properties of carbon monoxide as a function of internuclear distance. Amos, Roger D. (Univ. Chem. Lab., Cambridge, Engl. CB2 1EW). *Chem. Phys. Lett.* 1979, 68(2-3), 525-9 (Eng). The dipole, quadrupole, octopole and hexadecapole moments, the elec. field-gradient at the O nucleus, and the magnetizability and nuclear magnetic shielding tensors of the CO mol. are calc'd. for a range of internuclear distances, using accurate SCF and CI wavefunctions. The vibrational dependence of these 1-electron properties is calc'd. With the exception of the dipole moment function, there is excellent agreement between the CI results and available exptl. data.

*Rb. elect.  
pacellm*

*C.A. 1980. 22, N8*

CO

1979

Asbrink L., et al.

A.P.

Int. J. Mass Spectrom. and Ion  
Phys. 1979, 32, N1, 93-6.



acc. N2-111

CD

Danmark 9032

1979

Bocca R.

ICB, week,  
fineret.

Collect. Czech. Chesa,  
Kommission, 1979, 44  
3041-FT

CO

15 Б98. Влияние резонансов на функцию возбуждения электронным ударом излучения  $b^3\Sigma \rightarrow a^3\Pi$  молекулы CO. Böse Norberg. Influence of resonances in the electron impact excitation function of CO  $b^3\Sigma^+ \rightarrow a^3\Pi$  radiation. «Chem. Phys. Lett.», 1979, 61, № 2, 367—369 (англ.)

спектр  
оптического  
возбуждения

Исследован спектр оптического возбуждения перехода  $b^3\Sigma^+ \rightarrow a^3\Pi$  в молекуле CO медленным моноэнергетическим ( $\Delta E_{1/2} \sim 60$  мэв) электронами ( $E \leq 15$  эв). Измерялась интенсивность излучения в видимой и УФ-области (2000—6000 Å) (I) и в области перехода  $b^3\Sigma^+ \rightarrow a^3\Pi$  CO (2820—3450 Å, интерференц. светофильтр) (II). Для калибровки спектра по энергии использовалась интенсивная резонансная полоса 10,04 эв (I, переход  $A^1\Pi - XCO$ ). В области 10,5—13,3 эв наблюдался ряд полос, принадлежащих в основном переходам из состояний  $b^3\Sigma^+$  (I, II) и  $B^1\Sigma^+$  (I). Полученные данные сопоставляются со спектрами энергетических потерь электронов и результатами измерений функции оптического возбуждения др. методами. Возбуждение различных состояний CO происходит в основном за счет возбуждения и распада различных резонансных состояний CO<sup>-</sup>.

Б. М. Ковба

ж. 1979, N 15

1979

11) 9 Д866. Резонансы в функции возбуждения электронным ударом оптического перехода CO  $b^3\Sigma^+ \rightarrow a^3\Pi$ . Böse Norbert. Influence of resonances in the electron impact excitation function of CO  $b^3\Sigma^+ \rightarrow a^3\Pi$  radiation. «Chem. Phys. Lett.», 1979, 61, № 2, 367—369 (англ.)

Исследована интегр. люминесценция молекул CO ( $b^3\Sigma^+ \rightarrow a^3\Pi$ ) (2660—3830 Å), возбуждаемых моноэнергетич. электронами с энергиями в диапазоне 9,5—15 эв при разрешении 60 мэв. В области энергий электронов от 10,44 до 13,29 эв обнаружены резонансы, положение которых согласуется с относительными диффер. сечениями рассеяния электронов на CO. Проведено сравнение полученных данных с данными по рассеянию электронов на молекулах CO. Появление резонансов на эксперим. кривых оптич. ф-ции возбуждения CO электронным ударом обусловлено процессами заселения возбужденного состояния CO ( $b^3\Sigma^+$ ) при автоионизационном распаде образующихся ионов CO<sup>-</sup>.

Ю. В. Чижов

*Моделируется  
для определения*

об. 1979, № 9

СО

1979

Бондарко Р. В.

Р. В. Бондарко  
фото

Автограф едам диселт.  
На советские ученые  
степених худ.

М., ИОНХ, 1979

CO

nonenes,  
крабов,  
и. до, че  
такто

Lommel 9180) 1979

Brescansin L. et al.

J. Chem. Phys., 1979,  
71 (12), 4923-30.



Cu H<sub>2</sub>; III

CO

Lammuck 8327 | 1979

Rb. eex.  
placees,  
E.

Castro E.A.  
Int. J?Quant. Chem.,  
1979, I5, 355-358.

CO

omega 8621

1979

Chandrasekhar Y; et al.

ICR. UCC  
facecr

Theor. chim. acta, 1979  
52, 303 - 310 .

CO

1979

1 Д115. Релаксация одноэлектронных орбитальных энергий в атомах первого периода, сопровождающая ионизацию остова. Исследование зависимости расчетных энергий релаксации одноэлектронных орбитальных энергий для молекулы CO. Single orbital relaxation energies accompanying core ionization in first row atoms and an investigation of the basis set dependence of computed single orbital relaxation energies for CO. Clark David T., Crompton Benjamin J., Sgamellotti Antonio. «J. Electron Spectrosc. and Relat. Phenom.», 1979, 17, № 3, 149—156 (англ.)

Исследуется эффект релаксационного изменения электронной энергии молекулы при ионизации остова. Ранее авторами было показано, что эта величина может быть выражена через релаксационные энергии отдельных орбиталей. Теперь изучается зависимость величины релаксации для орбиталей одноэлектронного базиса, используемого в расчете. Рассмотрена молекула CO. Удаляется K-электрон при атоме O или при C. Применена стандартная схема неэмпирич. расчета по методу ЛКАО-МО в хартри-фоковском приближении. Рассмотрены пять различных базисных наборов. Релакса-

плоскост  
рассчитан

9.1980 №

ционные энергии рассчитаны также для атомов от В до Ne. Для молекул CO, N<sub>2</sub> и NO построены корреляционные "награммы", связывающие орбитальные лаксации в молекуле и в составляющих атомах. Замечено, что потеря K-электрона одним или другим атомом ведет к существенно различным последствиям для отдельных орбиталей и для молекулы в целом. Меняется не только полная энергия релаксации, но происходит также качественное перераспределение релаксационных вкладов между отдельными орбиталями.

Л. Н. Иванов

ГОЯН  
21

CO  
D

1949

Чесноков А.С., Мордко В.Н.;  
и др.

расчет  
значе-  
ния  
избыточ-  
ного

"Записки по теории атомов и моло-  
дых ядер", Высш. шк., 1949. III ч.  
голов. "Л. Д." Высш. шк., 1949, 43.

ав. Л.И.-И

CO

19 Б257. Уточненные лазерные частоты и коэффициенты Данэма для изотопозамещенной моноокиси углерода. Dale R. M., Hergman M., Johns J. W. C., McKellar A. R. W., Nagler S., Strathy I. K. M. Improved laser frequencies and Dunham coefficients for isotopically substituted carbon monoxide. «Can. J. Phys.», 1979, 57, № 5, 677—686 (англ.; рез. франц.)

Измерено ~200 лазерных линий  $^{12}\text{C}^{18}\text{O}$ ,  $^{13}\text{C}^{18}\text{O}$  и  $^{13}\text{C}^{16}\text{O}$  в области 1390—1650 см<sup>-1</sup> с использованием обычного решеточного спектрометра. Точность измерений лучше, чем  $\pm 150$  Мгц. Наблюданы и измерены частоты переходов с участием уровней вплоть до  $v=28$  для всех изотопов. Метод гетеродинного смешивания использован для измерений разности частот между 40 парами лазерных линий, включающими все комбинации изотопов  $^{12}\text{C}^{16}\text{O}$ ,  $^{13}\text{C}^{16}\text{O}$ ,  $^{12}\text{C}^{18}\text{O}$  и  $^{13}\text{C}^{18}\text{O}$ . Эти измерения проводили для колебательных уровней до  $v=20$  с точностью 4—20 Мгц. Полученные данные обработаны совместно с большим кол-вом лит. данных для CO по МНК и определены 15 приведенных коэф. Данэма. Отмечено, что преимуществом анализа является одновременный расчет по всем изотопозамещенным пр-ным CO. Из новых коэф. рассчитаны лазерные частоты CO, к-рые рекомендуются как наиболее точные и самосогласованные из имеющихся в литературе.

С. Б. Осин

XIII-9114

Оммтех 2980, 16.2.91

2.1979 N19

CO

Lommel 85141

1979

DeFrees D. J. et al.

raceme

proboscis.

Racey, Proc. Amer. Acad. Sci.,  
1979, 101(75) 4085-85

(ent. H2; m)

paper on (H<sub>2</sub>, B<sub>2</sub>, C<sub>2</sub>, N<sub>2</sub>, O<sub>2</sub>, CO, F<sub>2</sub>) 1979.

Dunlap B.I., Connolly J.W.D.,  
Sabin J.R.

XI-6249

J. Chem. Phys. 1979, 71, n12, 4993-4998

On first-row diatomic molecules  
and local density models.

Ref ID: A198013521

W (Q)

CO

Emmerson 8305) 1979  
Epstein & et al.

cum. no. 5

J. Chem. Phys., 1979,  
70(4), 1896-1801



(cell. H<sub>2</sub>;  $\frac{1}{2}$ )

1979

2 Д93. Систематический подход к расширенным орбитальным базисам равномерного приближения для атомных и молекулярных расчетов. Systematic approach to extended even-tempered orbital bases for atomic and molecular calculations. Feller David F., Ruedenberg Klaus. «Theor. chim. acta», 1979, 52, № 3, 231—251 (англ.)

Предложена явная ф-ла для построения из примитивных гауссовых ф-ций базисов равномерного приближения, позволяющих систематически улучшать аппроксимацию полного базисного набора. Рассмотрена связь введенных базисных наборов с интегр. преобразованиями хартри-фоковских АО. На примере расчета атомов Be, C, O, S и Se проиллюстрирована процедура построения расширенных базисов равномерного приближения и исследована их сходимость к полному базису. Полученные результаты использованы для построения оптимальных базисных наборов АО, которые являются эффективными в молекулярных расчетах. Модельные расчеты, использующие введенные базисные наборы, проведены для молекул CO, H<sub>2</sub>, C<sub>2</sub>H<sub>2</sub>, CH<sub>4</sub>.

Е. А. Жилинская

(73) 

9.1980.№2

CO

1979

Ferrera L. F., Heite J. R.

paarem  
номенклатура.  
кристалл

Phys. Rev., A20, v3, 689-  
- 699 (1979.)

(авт. N<sub>2</sub>; III)

CO

summer 7481

1979

Ford T. A.

M.N. J. Chem. Education, 1979,  
56 (1), 57-58

CO

1979

Fournier J., et al.  
J. Chem. Phys., 1979, 70,  
N<sub>12</sub>, 5726-30.



coll. N<sub>2</sub>O-II

~~$\text{O}_2, \text{O}_3, \text{N}_2, \text{CO}$~~ , ~~H<sub>2</sub>O~~, NH<sub>3</sub>, CH<sub>4</sub>, CF<sub>4</sub> 1979

Түүхөв Т. С., Делан А. А., XI-6332

ме. сгрупп. химия, 1979, 20, 45, 761-  
780.

Использование гидрогенистой азотной  
испечи, способствующей диспергации  
вертикальных Y<sub>2</sub>-шаров в базисе  
засыпанных карби-флоковых фракций.  
II Рассчитано значение испечи  
испечи.

Рига, 1980, 29122

10

(9)

CO

BP-XV-9485

1949

M.N.

90: 177473r Absolute wavenumbers and molecular constants of the fundamental bands of carbon monoxide ( $^{12}\text{C}^{16}\text{O}$ ,  $^{12}\text{C}^{17}\text{O}$ ,  $^{12}\text{C}^{18}\text{O}$ ,  $^{13}\text{C}^{16}\text{O}$ ,  $^{13}\text{C}^{17}\text{O}$ ,  $^{13}\text{C}^{18}\text{O}$ ) and of the 2-1 bands of carbon monoxide ( $^{12}\text{C}^{16}\text{O}$  and  $^{13}\text{C}^{16}\text{O}$ ), around  $5\mu\text{m}$ , by Fourier spectroscopy under vacuum. Guelachvili, G. (Lab. Infrarouge, CNRS, Orsay, Fr.). *J. Mol. Spectrosc.* 1979, 75(2), 251-69 (Eng). This paper is part of a more general work undertaken on the detn. of Dunham coeffs. for all the isotopic species of CO. The abs. wavenos. of 466 CO lines obtained from absorption spectra of 6 different isotopic forms in the  $5-\mu\text{m}$  region are reported with an accuracy of the order of 3 MHz or

C.A. 1949, 99, 122

less for ~300 lines. Absolutely measured within 9 MHz, 43 lines of  $^{13}\text{C}^{17}\text{O}$  (a mol. whose spectrum has not been obsd. in the IR before) are given together with 59 wavenos. measured within 3.2 MHz of  $^{12}\text{C}^{17}\text{O}$ , also reported for the 1st time. The wavenos. extend from 1939 to 2271  $\text{cm}^{-1}$ . More than 50 accurate mol. consts. are available allowing precise detn. of pure rotational transitions. These metrologic data should be helpful both for microwave or IR identification in astronomy, for instance, and for more specific mol. purposes. The high self-consistency of these Fourier results measured vs. the Kr line, and their consistency with all the other accurate measurements suggest that the reported values be adopted as secondary stds.

БД-XIV-9485

1979

CO

22 Б264. Абсолютные волновые числа и молекулярные постоянные фундаментальных полос  $^{12}\text{C}^{16}\text{O}$ ,  $^{12}\text{C}^{17}\text{O}$ ,  $^{12}\text{C}^{18}\text{O}$ ,  $^{13}\text{C}^{16}\text{O}$ ,  $^{13}\text{C}^{17}\text{O}$ ,  $^{13}\text{C}^{18}\text{O}$  и полос 2—1  $^{12}\text{C}^{16}\text{O}$  и  $^{13}\text{C}^{16}\text{O}$  около 5 мкм, измеренные методом фурье-спектроскопии в вакууме. Guelachvili G. Absolute wavenumbers and molecular constants of the fundamental bands of  $^{12}\text{C}^{16}\text{O}$ ,  $^{12}\text{C}^{17}\text{O}$ ,  $^{12}\text{C}^{18}\text{O}$ ,  $^{13}\text{C}^{16}\text{O}$ ,  $^{13}\text{C}^{17}\text{O}$ ,  $^{13}\text{C}^{18}\text{O}$  and of the 2—1 Bands of  $^{12}\text{C}^{16}\text{O}$  and  $^{13}\text{C}^{16}\text{O}$ , around 5  $\mu\text{m}$ , by fourier spectroscopy under vacuum. «J. Mol. Spectrosc.», 1979, 75, № 2, 251—269 (англ.)

М, 11

С помощью фурье-спектроскопии измерены колебательно-вращательные спектры изотопных модификаций  $^{12}\text{C}^{16}\text{O}$ ,  $^{12}\text{C}^{17}\text{O}$ ,  $^{12}\text{C}^{18}\text{O}$ ,  $^{13}\text{C}^{16}\text{O}$ ,  $^{13}\text{C}^{17}\text{O}$  и  $^{13}\text{C}^{18}\text{O}$  при низком давл. (0,5—12 мм) в области фундаментальных полос. Кроме переходов 1—0 наблюдены переходы 2—1 для  $^{12}\text{C}^{16}\text{O}$  и  $^{13}\text{C}^{16}\text{O}$ . Измерения проводили в ячейке типа Уайта, эффективная длина поглощающего слоя

Х. 1979, № 22

составляла 82 м. В кач-ве эталона использована линия Кг. Приведены волновые числа 466 линий CO. Точность измерения большинства линий оценена в 3 Мгц и лучше. Впервые измерено 49 линий  $^{13}\text{C}^{17}\text{O}$  с точностью 9 Мгц, а также 59 линий  $^{12}\text{C}^{17}\text{O}$  с точностью 3,2 Мгц. Рассчитаны молекулярные постоянные  $v_0$ ,  $B$ ,  $D$ ,  $H$  в состояниях  $v=0, 1$  для шести изотопозамещенных CO, а также в состояниях  $v=1, 2$   $^{12}\text{C}^{16}\text{O}$  и  $^{13}\text{C}^{16}\text{O}$ . Отмечено, что полученные данные хорошо согласуются с имеющимися в лит., однако более точны и самосогласованы. Измеренные волновые числа рекомендуется использовать в кач-ве вторичных стандартов.

С. Б. Осин



CO

BZh XIV - 9485

1979

12 Д380. Абсолютные волновые числа и молекулярные постоянные основных полос  $^{12}\text{C}^{16}\text{O}$ ,  $^{12}\text{C}^{17}\text{O}$ ,  $^{12}\text{C}^{18}\text{O}$ ,  $^{13}\text{C}^{16}\text{O}$ ,  $^{13}\text{C}^{17}\text{O}$ ,  $^{13}\text{C}^{18}\text{O}$  и полосы 2—1  $^{12}\text{C}^{16}\text{O}$  и  $^{13}\text{C}^{16}\text{O}$ , определенные в области 5 мк с помощью вакуумной фурье-спектроскопии. Absolute wavenumbers and molecular constants of the fundamental bands of  $^{12}\text{C}^{16}\text{O}$ ,  $^{12}\text{C}^{17}\text{O}$ ,  $^{12}\text{C}^{18}\text{O}$ ,  $^{13}\text{C}^{16}\text{O}$ ,  $^{13}\text{C}^{17}\text{O}$ ,  $^{13}\text{C}^{18}\text{O}$  and of the 2—1 bands of  $^{12}\text{C}^{16}\text{O}$  and  $^{13}\text{C}^{16}\text{O}$ , around 5  $\mu\text{m}$ , by fourier spectroscopy under vacuum. Guelachvili G. «J. Mol. Spectrosc.», 1979, 75, № 2, 251—269 (англ.)

Получены спектры ИК-поглощения газообразного CO в области 5 мк при давл. 0,05—40 мм рт. ст. в слое 42 и 82 м с помощью фурье-спектрометра с регистрацией  $10^5$  точек. Измерены частоты колебательно-вращательных линий в области основного тона CO со всеми стабильными изотопами С и О и линии горячего перехода 2—1 молекул  $^{12}\text{C}^{16}\text{O}$  и  $^{13}\text{C}^{16}\text{O}$ . Приведены частоты линий, измеренные с точностью около  $10^{-4}$  см $^{-1}$ . Рассчитаны колебательные частоты и постоянные B.

09.10.1979/012

го момента по нормальной координате  $Q_4$ . Библ. 19.  
М. Тонков

-19 п 277 Обнаружение нестационарного состояния

(H)

CO

Lommel 8055

1979

Hougaard et al.

rb. uex.  
paekes  
noncenes,  
rbullock

Mol. Phys., 1979,  
37 (5), 1593 - 1604

CO

ommited 7806

1979

paper

Inglesfield J. E.

Properties

of dimers

Mol. Phys., 1979, 37(3)

889-903

1979

CD

7 Д379. Сечения фотоионизации газов в вакуумной  
 УФ-области. Ч. I. HeI-спектры простых соединений.  
 Kimura K., Achiba Y., Motishita M., Yamazaki T. Vacuum uv photoelectron intensity of gaseous compound. I. HeI spectra of simple compounds. «J. Electron Spectrosc. and Relat. Phenom.», 1979, 15, 269—274  
 (англ.)

Сергей  
 физико-  
 химии  
 газов

Предложен метод определения абс. сечений фотоионизации газов, основанный на получении фотоэлектронных спектров смеси исследуемого газа с калибровочным (в данной работе —  $N_2$ ). При известных абс. сечениях фотоионизации  $N_2$  и парциальных давлениях компонентов смеси, по площади полос спектра можно вычислить искомое сечение. Возможности модели проиллюстрированы на примере молекул  $CO$ ,  $O_2$ ,  $H_2O$ ,  $NH_3$ ,  $CH_4$ , ряда кислород- и азотсодержащих алифатич. соединений. Отмечено, что величины сечений, полученные предложенным методом, хорошо согласуются с данными, полученными из спектров поглощения. Библ. 29. М. Т.

(44)

РСФРЧ, 1979, № 7

CD

Lommel 8459 1979

Kitaura K., et al.

M.N.

Chem. Phys. Lett.,  
1979, 65(2), 206-211

CD

1949

Kobeissi H., et al

pacrem  
weacekyr

Proc. of the Inter. Symp. on  
Atom. mol. and Solid-State  
Theory, Collision Phenomena,  
Quantum Statistics and  
Comput. methods, Flagler Beach,  
Fla, March 11-17, 1949.  
"Int. J. Quantum Chem." Quant.  
Chem. Symp. vB, 109-144!  
(vol I & III)

CO

annulus 8622

1979

Korzeniewski B., et al.

Chemis

Chem Phys J. Chem. Phys, 1979, 70  
(11) 5174-83

Vibrational Spectroscopy of  
matrix isolated...

CO

ommunic 8617

1979.

Lauk F., et al.

Mooney,  
J.

Concep.

Theor. chim. acta,  
1978, 52, 319-328

CO

CO<sup>+</sup>

1979

7 Д766. Интенсивности полос  $A-X$  и  $B-X$  молекулы CO и иона CO<sup>+</sup> в кометах. Krishna-Swamy K. S. Intensities of  $A-X$  and  $B-X$  bands of CO and CO<sup>+</sup> in comets. «Astrophys. J.», 1979, 227, № 3, Part 1, 1082—1085 (англ.)

Рассчитаны интенсивности полос спектров флуоресценции в системах переходов  $A-X$  и  $B-X$  для молекулы CO и иона CO<sup>+</sup>. Учтены переходы с участием 14 нижних колебательных уровней для каждого состояния. Результаты расчета использованы для интерпретации излучения комет в УФ-области спектра, зарегистрированного с помощью спектральной аппаратуры, установленной на спутниках. Отмечено удовлетворительное согласие расчетных и эксперим. спектров. Расхождения объяснены несовершенством примененных спектральных приборов. Библ. 21.

М. Т.

(+) (X)

РелФиз, 1979, № 7

(+) CO

1979

91: 2196-49f Mechanism of excitation of electron states of carbon monoxide molecules in a glow discharge. Maksimov, A. I.; Polak, L. S.; Sergienko, A. F.; Slovetskii, D. I. (USSR). *Opt. Spektrosk.* 1979, 47(3), 451-6 (Russ). In a stream of pure CO in a pos. column of a glow discharge with reduced pressure, the intensity of the bands  $B' \Sigma \rightarrow A' \pi$ ,  $A' \pi \rightarrow X' \Sigma$ ,  $b^3 \Sigma \rightarrow a^3 \pi$ , and  $a' 3 \Sigma \rightarrow a^3 \pi$  of CO mol. was measured. The mechanism of the population of the electronically excited state of the CO mol. were analyzed on the basis of exptl. and theor. data. The population of these excited levels is detd. by the rate of decrease of the intensity of the bands after turning on the discharge.

(Chirk)

PA 1979 9/ N26

CO

1979

check

94: 55151w mechanism of excitation of vibrational levels  $X'\Sigma^+$ ,  $A'II$ , and  $B'\Sigma^+$  of electron states of a carbon monoxide molecule in a direct-current charge beam. Malakhov, V. P.; Pugnin, V. I.; Sokolov, A. P. (Ryazan. Radiotekh. Inst., Ryazan, USSR). Deposited Doc. 1979, VINITI 3029, 17 pp. (Russ). Avail. VINITI. The population of the vibrational levels  $B'\Sigma^+$ ,  $A'II$ ,  $X'\Sigma^+$  electronic states, the electron concen., av. electron energy, and electron distribution function with respect to velocity were studied in a longitudinal discharge tube contg. a  $CO_2 + He$  mixt. The nature of the excitation of the vibrational levels of these electronic states for the CO was discussed on the basis of these data. The vibrational levels of the  $A'II$  state are excited stepwise with vibrational levels of the ground  $X'\Sigma^+$  state. The vibrational levels of the  $B'\Sigma^+$  state and  $v = 12-19$  vibrational levels of the  $X'\Sigma^+$  state of CO are excited by direct electron bombardment.

c.A.1981.94,18

1979

CO

11 Д291 ДЕП. О механизме возбуждения колебательных уровней  $X'\Sigma^+$ ,  $A'\Pi$ ,  $B'\Sigma^+$  электронных состояний молекулы CO в столбе разряда постоянного тока. Малахов В. П., Пугнин В. И., Соколов А. П. Рязан. радиотехн. ин-т. 1979. 16 с., ил., библиогр. 13 назв. (Рукопись деп. в ВИНИТИ 13 авг. 1979 г. № 3029—79 Деп.).

Изложены результаты измерений населенности колебательных уровней  $X'\Sigma^+$ ,  $A'\Pi$ ,  $B'\Sigma^+$  электронных состояний молекулы CO, конц-ии электронов  $n_e$ , средней энергии электронов  $\epsilon$  и ф-ции распределения электронов по скоростям в положит. столбе разряда смеси углекислого газа с гелием и на основании полученных данных проведено обсуждение характера возбуждения колебательных уровней электронных состояний  $X'\Sigma^+$ ,  $A'\Pi$  и  $B'\Sigma^+$  молекулы CO.

возбужд.  
каскадн.  
Уровни  
эл. состоян.

Ф.1979.111

CO

1979

4 Б16. Расчет многофотонных ИК-спектров малых молекул. Применение к CO. Moloneу J. V., Faisal F. H. M. Computation of multiphoton IR spectra of small molecules: Application to CO. «J. Phys.», 1979, B12, № 17, 2829—2840 (англ.)

Предложен метод расчета многофотонных колебательно-вращательных спектров малых молекул, не использующий теорию возмущений. Применимость указанного подхода продемонстрирована на примере молекулы CO. Показано, что частотная селективность возбуждения на высокие колебательные уровни требует строгого выполнения условий перехода. Найдено, что в случае, когда уширение индивидуальной колебательно-вращательной линии становится сравнимым с вращательной постоянной молекулы, проявляются новые нелинейные эффекты, приводящие к возникновению дополнительных линий в спектре. Отмечено, что использование упрощенных моделей при описании вращения приводит к неверным результатам для многоквантовых переходов.

Б. И. Жилинский

частоты  
колебаний  
— вращат.  
спектр

2.1980.№4

CO

1979

4 Д413. Измерения интегральной интенсивности и относительной силы полос Ангстрема молекулы CO.  
Integrated intensity measurements and relative band strengths of CO (Angstrom) bands. Murthy N. Sreedhara, Raghulad U. D. «Physica», 1979, BC97, № 4, 385—387 (англ.)

М.Н.

Измерены относительные интегр. интенсивности полос  $v'=0-v''=0 \div 4$  системы  $B^1\Sigma^+ - A^1\pi$  молекулы CO. С использованием потенциала Морзе рассчитаны коэф. Фраунгофера—Кондона и  $r$ -центроиды для полос этой системы. Определена зависимость электронного момента перехода от межъядерного расстояния,  $R_e(r) = \text{const} (1 - 1,748r + 0,766r^2)$ .

Ф. 1980 № 4

CO

9 Д198. Определение матричных элементов ангармонического осциллятора: использование соотношений коммутации в частном случае потенциала Дэнхэма, разложенного до членов шестого порядка. Niay P., Coquand C., Bergnane P. Détermination des éléments de matrice d'un oscillateur anharmonique: utilisation des relations de commutation dans le cas particulier d'un potentiel de Dunham développé jusqu'au sixième ordre. «Can. J. Phys.», 1979, 57, № 4, 572—581 (франц.; рез. англ.)

Определение  
матричных  
элементов

На основании потенц. ф-ции Дэнхэма для колебаний двухатомной молекулы, разложенной в ряд по степеням межъядерного расстояния  $x$  до членов 6-го порядка, получены колебательные энергии и волн. ф-ции. С помощью соотношений коммутации между гамильтонианом и  $x^e$  выведена рекуррентная ф-ла для диагонального матричного элемента  $x^e$ , содержащая коэф. разложения потенциальной и полной энергии. С помощью правил сумм вычислены также недиагональные матричные элементы  $x^e$ . Численные результаты получены для молекул CO и HBr. Для CO достигнуто хорошее совпадение вычисленных и эксперим. значений матричных элементов дипольного момента.

М. А. Ковнер

9.10.49 N9

1979

Физика 1979

Одномерные

базг

Ф.1949 №

CO

Ommea 8313)

1949

Noor Mohammad S.

"Physics," 1949, BC 96, #3, 410-13  
Noor  
M. S.

cccl. 32 - 11

CD

Omnisec 8901

1979

Obwade, H.  
Spectrochim. acta,  
1979, 355, 1353-57.

CO

LiF

1979

(90) 142377k Approximate estimation of properties of heteronuclear diatomic molecule based on the Thomas-Fermi theory. Plindov, G. I.; Pogrebnyak, S. K. (Inst. Yad. Energ., Minsk, USSR). *Dokl. Akad. Nauk BSSR* 1979, 23(2), 139-42 (Russ). For a description of the properties of a heteronuclear diat. mol. the quasi-unidimensional statistical model is suggested. By using numerical soln. of the equations obtained in the model the electronic energy values and mean operators  $r_1^{-1}$ ,  $r_2^{-1}$ ,  $r_1^2$ , and  $r_2^2$  are evaluated for CO and LiF. The results are compared with quantum mech. values.

Oversetka

Chodzemb, 2 recenz. avg 7.

⑦

☒



C.A. 1979, 90, N18

1G49

CO

CO  
Background-free CARS studies of carbon monoxide in a flame.

91: 148891r Background-free CARS studies of carbon monoxide in a flame. Rahn, Larry A.; Zych, Ludwik J.; Mattern, Peter L. (Appl. Phys. Div., Sandia Lab., Livermore, CA 94550 USA). *Opt. Commun.* 1979, 30(2), 249-52 (Eng.). Background-free coherent anti-Stokes Raman spectra (CARS) of CO were obtained in a rich CH<sub>4</sub>/air flat flame. Use of this background rejection method, requiring only 2 laser frequencies, results in an increase in signal-to-noise of >200 in the  $|x^{(3)}|^2$  spectrum in comparison with normal CARS. This technique provides a means for detg. the symmetry of obsd. Raman transitions. The principles of background-free CARS are derived, and the capabilities are demonstrated with exptl. data.

P. A. 1G49 GJW18

CO

N<sub>2</sub>

фотоэл.  
спектр.

(+)

Ф.1949 №10

данные 1975  
1979

10 Д363. УФ-фотоэлектронная спектроскопия CO и N<sub>2</sub> в матрицах и в конденсированном состоянии. Schmeisser D., Jacobi K. UV photoelectron spectroscopy of matrix-isolated and condensed CO and N<sub>2</sub>. «Chem. Phys. Lett.», 1979, 62, № 1, 51—56 (англ.)

Исследованы HeI- и HeII-фотоэлектронные спектры CO (I) и N<sub>2</sub> (II), изолированных в Xe-матрице при т-ре 9°К и конденсированных на поверхности Au-подложки. Энергии связи электронов относительно уровня Ферми для конденсированных I и II равны (в эв): 8,8, 11,75 14,5 (I); 10,5, 12,0, 13,8 (II); а для изолированных в Xe-матрице I и II равны: 11,5, 14,1 (I); 10,2, 11,5, 13,2 (II). Показано, что полосы с этими энергиями связи соответствуют удалению электронов с MO типа 4σ, 1π и 5σ. Установлено, что фотоэлектронные полосы конденсированных и изолированных в Xe-матрице I и II сдвинуты в среднем на 1 эв в сторону меньших энергий связи по сравнению с полосами газообразных I и II. Проанализированы ширины полос в фотоэлектронных спектрах. Обсуждены причины появления сателлитных полос в фотоэлектронных спектрах конденсированных I и II. Библ. 17.

Ю. В. Чижов

1979

$\text{CO}$   
 $\text{CH}_4$   
 $\text{CF}_4$   
 $\text{CO}_2$   
 $\text{COS}$   
 $\text{C}_2\text{H}_2$   
 $\text{C}_2\text{H}_4$

27

13 Б99. К-спектры возбуждения углерода в малых молекулах по данным метода электронного удара с высоким разрешением. Тропс М., King G. C., Read F. H. Carbon K-shell excitation in small molecules by high-resolution electron impact. «J. Phys.», 1979, B12, № 1, 137—157 (англ.)

Методом электронного удара изучены дискретные уровни К-спектра возбуждения углерода в  $\text{CO}$ ,  $\text{CH}_4$ ,  $\text{CF}_4$ ,  $\text{CO}_2$ ,  $\text{COS}$ ,  $\text{C}_2\text{H}_2$  и  $\text{C}_2\text{H}_4$ . Энергия перв. пучка 1,5 кэв, разрешение 70 мэв. Измерены энергии перехода

небольш.

( $\text{C}_2\text{H}_4$ , 1 $\mu$ )

2. 1979, № 13

1979

CO

8 Б149. Возбуждение электронным ударом низкой энергии состояния  $b^3\Sigma^+$  молекулы CO. Twist J. R., Paske W. C., Rhymes T. O., Haddad G. N., Golden D. E. Low energy electron impact excitation of the  $b^3\Sigma^+$  state of CO. «J. Chem. Phys.», 1979, 71, № 6, 2345—2351 (англ.)

Методом задержанного совпадения измерено время жизни уровня  $v'=0$  состояния  $b^3\Sigma^+$  молекулы CO, возбужденной электронным ударом низкой энергии. Спектры регистрировали в области 2000—3500 Å с разрешением 50 Å при энергиях пучка электронов от 10,5 до 13,5 эв. Рассчитаны компоненты времени жизни:  $51,86 \pm 0,24$ ,  $358 \pm 20$  и  $1500 \pm 900$  нсек с доверительным интервалом 95% при экстраполяции к нулевому давлению. Определены также сечения столкновительного

11.11.

X. 1980 № 8

тушения для мгновенного распада и первого каскада, равные  $(7,7 \pm 3,8) \times 10^{-5}$  см<sup>2</sup> и  $(7,1 \pm 3,5) \times 10^{-15}$  см<sup>2</sup>. Заключено, что начало первого каскада связано с уровнями  $v''=32-41$  состояния  $a'{}^3\Sigma^+$ , поскольку, как предполагалось ранее, высокие колебательные уровни состояния  $a'$  сильно возмущают уровни  $v''=0$  и 11 состояния  $b{}^3\Sigma^+$ . Этот вывод подтвержден полученными результатами для сечений тушения, к-рые для компонент мгновенного и первого каскада практически равны. Обсуждены возможные причины несоответствия с лит. значениями для времени жизни состояния  $b{}^3\Sigma^+$ .

С. Б. Осин

CD

Lommel 8075

1979

Wilson S., et al.

nominated  
Rutherford

Chem. Phys. Lett.,  
1979, 63(2), 367-69

(ext.  $N_2$ ;  $\bar{m}$ )

CO

1949

Yencha A.Y.

praeceii  
(γ)

"Сибирь" бывшее, Glass  
Spectrosc. 1949, 27, N3,  
135-56.



coll. He<sup>+</sup> - III

1979

CO

CO<sub>2</sub>

кв. расчет

(+) (x)

Х. 1979/1/15

15 Б16. Исследование неэмпирической схемы PRD-DO на примере расчетов молекул CO и CO<sub>2</sub>. Зюбиз А. С. «Ж. структур. химии», 1979, 20, № 2, 195—202

Предложено несколько непараметрич. и параметрич. вариантов неэмпирич. схемы ЧУДДП, к-рые по простоте вычислительной схемы и затратам машинного времени близки к известной схеме ПДДП, но существенно превосходят ее в отношении точности имитации результатов неэмпирич. расчетов в том же базисе. В их рамках выполнены сравнительные расчеты молекул CO и CO<sub>2</sub>. В наиболее точном из них одноэлектронные уровни, матричные элементы фокиана и заселенности AO, рассчитанные неэмпирически, воспроизводятся с погрешностью ~0,02—0,04 а. е.

Резюме

CO

Оже-спектр

11 Д83. Многоэлектронные вклады в оже-спектр CO. Many-electron contributions in the Auger spectrum of CO. Автор Hans Siegbahn Hans. «Chem. Phys. Lett.», 1980, 72, № 3, 498—503 (англ.).

Показано, что эксперим. оже-спектры валентных оболочек для двухатомных молекул имеют колебательную структуру и демонстрируют две группы переходов, относящихся к различным положениям дырок в атомном остове, но к одному и тому же набору конечных валентных орбиталей. По этим причинам оже-спектры двухатомных молекул, в частности спектр CO, обеспечивают наилучшую проверку справедливости одноцентровой модели интенсивности. Показано, что внутренние корреляционные эффекты приводят к расщеплению переходов на внутренние валентные состояния с двумя дырками. В результате расщепления появляется несколько интенсивных компонент. Сделано предположение, что слабые пики и повышение фона в низкоэнергетич. части спектра CO связаны с выбросом электронов в конечные состояния и с эффектами неупругого рассеяния. Различие в форме  $1s^{-1}$ -спектра и  $1s^{-1}$ -спектра объяснено на основании различных потенц. кривых для этих уровней.

С. К. Ковалёва

4. 10.0  
12/11

1980

CO

17 Б133. Пороговые фотоэлектронные спектры CO, полученные методом прилипания электронов. Ajello J. M., Chutjian A., Winchell R. Threshold photoelectron spectrum of CO by electron attachment (TPSA). «J. Electron Spectrosc. and Relat. Phenom.», 1980, № 3, 197—203 (англ.)

Получены пороговые фотоэлектронные спектры CO в области энергий фотонов 14,0—21 ЭВ. Спектры измерены методом прилипания электронов, в к-ром регистрируются отриц. ионы ( $\text{Cl}^-$ ), образующиеся в результате прилипания фотоэлектронов (от молекул исследуемого газа) с близкой к нулю энергией к электроотриц.

фотоэл.  
спектр

2 1980 N17

добавкам — акцепторам электронов ( $\text{CFCl}_3$ ). В полученных спектрах идентифицированы колебат. уровни электронного состояния  $X^2\Sigma^+$  вплоть до  $v'=12$  и показано, что их заселенность сильно завышена по сравнению с заселенностью, получаемой из обычных фотоэлектронных спектров. На основании анализа спектров сделан вывод, что сильное увеличение заселенности обусловлено большим вкладом резонансной автоионизации. Идентифицированы также колебат. уровни состояний  $A^2\Pi$  и  $B^2\Sigma^+$ . Установлено, что для этих состояний заселенность по колебат. уровням близка к франк-кондоновской, что указывает на доминирование прямой фотоионизации при образовании этих состояний.

Е. Николаев

CO

1980

Aufderheide R. H.,  
et al.

paper #1; 149th ACS Nat. Meet.

u.n. Houston. Tex., 1980. Abstr.

Pap. Washington, D.C.,  
Sa., 76.

(see. Lit.; III)

CD

Communica 10481

1980.

Auf der Heide K.H. et al.

Ref. ecc.

pacet

Z. Chem. Phys., 1980, 73  
(4), 1789-1804.

CO

1980

19 Б226. Иинфракрасная спектроскопия сверхзвуковых молекулярных пучков с использованием перестраиваемых диодных лазеров. Bassi D., Boschetti A., Marchetti S., Scoles G., Zen M. Infrared spectroscopy of supersonic molecular beams with tunable diode lasers. «Symp. Atom. and Surface Phys. '80, Salzburg, 1980. Contrib.» Innsbruck, s. a., 117—122 (англ.)

Измерена зависимость заселенностей вращательных состояний *R*-ветви колебательного спектра CO в области около  $2150 \text{ см}^{-1}$  от квантового числа  $J$  в свободной молек. струе CO и He—CO при давлениях в источнике молек. пучка 1,3; 2 и 3 атм. При измерениях использован метод зондирования молек. пучка при помощи пере-

X. 1980 N 19

страиваемого диодного лазера (область перестройки  $\sim 50$  см $^{-1}$ ) с последующим детектированием молек. пучка при помощи болометра на жидк. гелии. Ширина линии сигнала составила  $\sim 20$  Мгц и определялась характеристиками лазерного источника. Допплеровское уширение не превышало 5 Мгц. Согласие эксперим. данных с вычисленными на основе модифицированной теор. модели вполне удовлетворительное. Отклонения от максвелловского распределения в молек. пучке вызваны заметным вкладом неупругих столкновений.

С. Н. Мурзин

1980

CO

2 Д623. ИК-спектроскопия сверхзвуковых молекулярных пучков с использованием перестраиваемого по частоте излучения диодных лазеров. Infrared spectroscopy of supersonic molecular beams with tunable diode lasers. Bassi D., Boschetti A., Marchetti S., Scoteles G., Zen M. «SASP. Symp. Atom. and Surface Phys., Maria Alm-Salzburg, 1980. Contrib.» S. l., s. a., 123—128 (англ.) (Место хранения ГПНТБ СССР)

ИК спектр

Исследованы спектры ИК-поглощения молекул CO (I) в сверхзвуковом потоке I+He на фоне перестраиваемого по частоте излучения диодных лазеров ( $\nu \sim 2150 \text{ см}^{-1}$ ,  $\Delta\nu \sim 50 \text{ см}^{-1}$ ,  $\delta\nu \sim 20 \text{ МГц}$ ,  $P \sim 1 \text{ мВт}$ ). Проведен масс-спектрометрич. анализ компонент сверхзвукового потока. Измерены интенсивности ИК-полос I при давлении газообразных молекул I в. потоке 1,3—3 атм. Обсуждено распределение интенсивности ИК-полос вращатель-

оф. 1982, 18, № 2.

ных переходов колебания молекул I в потоке. Отмечено, что максвелловское заселение вращательных подуровней колебания I в потоке нарушается при больших величинах  $J$ . Предположено, что наблюдаемое энергетич. распределение молекул I в потоке определяется изменением эффективности процессов вращательной релаксации в I при расширении сверхзвукового потока

И. В. А

CO

1980

Binzbaum Q.

Proc. Int. School Phys.

parruccini Enrico Fermi, Varenna  
on Lake Como, 1978.  
Course 75. Amsterdam e.a.,  
1980, 111-145.

(see. M<sub>2</sub>; III)

CO

Lommel 10225 | 1980.

Blä's R., et al.

( $\mu$ , ?)

Z. Phys. B: Atom. und  
Mol. Phys.; 1980, 13,  
2693 - 2707

CO

osmucc 11166)

1980

свободно  
к  
протону

Bohme D.K., et al.

Z. Chem. Phys., 1980,  
73, N 10, 4976-4986.



(cet.  $H_2 H^+$ ; II).

CO

1980

Carr B.R., et al

U.K. cnekip

$\nu_i$

J. Mol. Struct., 1980, 62,  
291-295.

•  $\text{Cu } \text{C}_2\text{N}_2 ; \text{III}$

CO

OH

C<sub>2</sub>

Chauville

H.N.

(+2)

C.A. 1980, 93, N16

1980

✓<sup>93</sup>: 158436b High-resolution near infrared study on molecules of astrophysical interest carbon monoxide, hydroxyl radical, diatomic carbon. Chauville, J.; Maillard, J. P.; Mantz, A. W. (Lab. Telesc. Infrarouge, Obs. Meudon, 92190 Meudon, Fr.). *Spectres Mol.. Simples Lab. Astrophys., Commun. Colloq. Int. Astrophys.*, 2<sup>1st</sup> 1977 (Pub. 1980), 442-57 (Fr). Univ. Liege, Inst. Astrophys.: Cointe-Schlessin, Belg. The emission spectra of CO, OH, and C<sub>2</sub> were studied by Fourier transform spectroscopy of an oxyacetylene flame. For CO accurate mol. consts. were derived for vibrational levels  $v = 0-5$ . Bands of  $\Delta v = 3$  sequence and some transitions involving high rotational levels for  $v = 2-5$  were obsd. for OH. These observations provided improved mol. consts. and %λ-doubling consts. for the OH ground state. The Phillips system of C<sub>2</sub> ( $A^1\% \pi_u - X^1\% \sigma_g^+$ ) was studied; and 5 new bands are reported. The rotational perturbations of upper

electronic states are also described, and more accurate consts. of  $c, 3\% \epsilon_u^+$  perturbing state are given.

CO

Lommelae 9712

1980

X6.000X  
paecte

Chesnayi A.S. et al.  
Chem. Phys., 1980,  
49, 107 - 115

(eu. Litt;  $\text{H}^+$ ) |  $\text{VII}-37427$

CO<sub>(ne)</sub>

Lommel 10308 1980.

Closter M. J.; et al.

Pascal  
Chenip

J. Chem. Phys., 1980, 73  
(2), 673 - 82

Pure vibrational Raman  
spectra

CO

Lommelca 91901

1980

facetus  
guineensis,  
clavigera

Costa - Cabral B.J.  
et al.

J. Phys. B' atom.  
and Mol. Phys.;  
1980, 13, 211-216

see Ch; III

CO

1980

21 Б1071. Спектроскопическое определение относительных концентраций колебательно-возбужденных молекул CO в сероуглеродном пламени. Дудкин В. А. «Физ. горения и взрыва», 1980, 16, № 3, 73—78

Описана упрощенная методика нахождения относит. конц-ий молекул CO на колебательных уровнях  $v = 2-10$  по ИК излучению CG в области 2,3—2,7 мкм для условий высокот-рной среды.

Резюме

Концентрация  
молекул.

Х. 1980 № 21

*CO*

1080  
2 Д611. Анализ колебательного распределения молекул CO ( $a^3\Pi$ ), образующихся при фотодиссоциации CO<sub>2</sub>. Analysis of CO ( $a^3\Pi$ ) vibrational distribution produced by photodissociation of CO<sub>2</sub>. Dueñas Fana nas J. A., Cabello A. «Nuovo cim.», 1980, B59, № 75—80 (англ.; рез. итал., рус.).

Выполнен простейший анализ колебательного распределения молекул CO ( $a^3\Pi$ ), образующихся при фотодиссоциации CO<sub>2</sub>. Показано, что колебательное распределение хорошо описывается суммой двух распределений Пуассона. Проанализирована зависимость колебательного распределения от энергии квантов возбуждающего излучения. Предложено два механизма, ответственных за образование CO ( $a^3\Pi$ ) при фотодиссоциации CO<sub>2</sub>.

В. С. Иванов

*однажды.  
ирия узогорис.  
CO<sub>2</sub>.*

*оп. 1981.12*

CO

N<sub>2</sub>

BF

Paged 17.  
Copied

(+2)

CA 1980 22 or 22

(see BF<sup>2</sup>, III)

Lommick 9322)

1980

92; 188668a Molecular Rydberg transitions in carbon monoxide; term value ionization energy correlation of boron fluoride (BF), carbon monoxide and nitrogen. Fock, J. H.; Guertler, P.; Koch, E. E. (II. Inst. Experimentalphys., Univ. Hamburg, 2060 Hamburg, 52 Fed. Rep. Ger.). *Chem. Phys.* 1980, 47(1), 87-93. (Eng). The linear correlation between the term value and ionization energy for mol. Rydberg transitions is tested for the sequence of isoelectronic mols. BF, CO and N<sub>2</sub> based on a new measurement of the absorption spectrum of CO and data for BF and N<sub>2</sub>. For the npσ series and npπ series converging on the first ionization potential, there is excellent linear behavior (within 10 meV) corroborating (i) the correlation and (ii) the individual assignments. For Rydberg series leading to the A<sup>2</sup>Π and B<sup>2</sup>Σ<sup>+</sup> states, where no data for BF are available, a comparison of term values for CO and N<sub>2</sub> is presented.

6000

XIII -

1980

Office IIIЧ1

CO

7 Д806. Спектры испускания и радиационные времена жизни полос Камерона молекул CO в твердых инертных матрицах. Emission spectra and radiative lifetimes of the Cameron bands of CO trapped in solid rare gas matrices, Fournier J., Mohammed Hassan H., Deson J., Vermeil C., Schamps J. «J. Chem. Phys.», 1980, 73, № 12, 6039—6045 (англ.)

Исследованы спектры испускания CO ( $a^3\Pi - X^1\Sigma^+$ ) в твердых Ne-, Ar- и Kr-матрицах, возбуждаемые резонансным излучением Xe ( $\lambda=147$  нм). По затуханию люминесценции определены времена жизни состояния  $a^3\Pi$ . Время жизни состояния  $a^3\Pi$  в Ne-матрице равно 90 мс. Затухание экспоненциально в пределах ошибки эксперимента. Расчетное значение времени жизни в предложении спин-орбитального смешения состояний  $^1\Sigma^+$  и  $^3\Pi_0$  равно 94 мс для  $J=0$ . Времена жизни состояния  $a^3\Pi$  в Ar- и Kr-матрицах равны соответственно 7,2 и  $<1$  мс. Уменьшение времени жизни согласуется с матричным сдвигом полосы 0—0 ( $-305$ ,  $-946$  и  $-2812\text{ см}^{-1}$  в Ne-, Ar- и Kr-матрицах соответственно). Библ. 32.

B. С. Иванов

спектр  
испускаемый

9.1981.№7

*CO*

*спектр  
излучения*

*1980*  
13 Б140. Спектры испускания и радиационные вре-

мена жизни полос Камерона молекул CO, изолированных в твердых матрицах инертных газов. Fourpiet J., Mohammed H. H., Deson J., Vergmeil C., Schamps J. Emission spectra and radiative lifetimes of the Cameron bands of CO trapped in solid rare gas matrices. «J. Chem. Phys.», 1980, 73, № 12, 6039—6045 (англ.)

Измерены спектры испускания изолированных в матрицах Ne, Ar и Kr молекул CO, возбуждаемые ксеноновой резонансной лампой ( $\lambda=147$  нм). Спектры регистрировались в области полос Камерона, связанных с запрещенным переходом  $a^3\Pi - X^1\Sigma^+$ . Во всех матрицах наблюдало по 5 переходов — 0—0—0—4. Распределение интенсивностей наблюдаемых полос хорошо согласуется с рассчитанными факторами Франка — Кондона. Измерены сдвиги полос CO в разных матрицах относительно газ. фазы. Во всех случаях обнаружены красные сдвиги, увеличивающиеся от Ne к Kr. Сдвиги полос 0—0 равны  $-305 \pm 30$ ,  $-946 \pm 70$  и  $-2812 \pm 30$  см $^{-1}$ .

*2.1981.113*

в Ne, Ag и Kr, соотв. Измерены времена жизни τ состояния  $a^3\Pi$  CO в матрицах из Ne ( $90 \pm 2$  мс) и Ag ( $7,2 \pm 0,1$  мс). Для Kr получен верхний предел τ, равный  $<1$  мс. Полученные времена жизни хорошо коррелируют с матричными сдвигами полос CO. Показано, что кривая распада состояния  $a^3\Pi$  в пределах ошибки эксперимента является экспоненциальной. В предположении спин-орбитального взаимодействия между состояниями  $^1\Sigma^+$  и  $^3\Pi_0$  рассчитано время жизни верхнего состояния для  $J=0$  (94 мс), что отлично согласуется с измеренным значением. Результаты обсуждены в сравнении с лит. временами жизни возбужденных состояний  $a^3\Pi$  изолированных в матрицах родственных молекул — GeO, GeS, SnO, SnS, CS.

С. Б. Осин

CO

1980

Gagarin S.G.,

орбита  
состав-  
ляет.

Reed. Zhur. 1980, 6(2),  
215-20

cell. № 2 - III

1980

CO

(fmn)

92: 137875h Numerical calculation of dipole matrix elements of vibration transitions of diatomic molecules. Gagarin, S. G.; Slovetskii, D. I. (USSR). *Opt. Spektrosk.* 1980, 48(1), 176-8 (Russ). The anal. potential, proposed by J. N. Murrell and K. S. Sorbie (1974), was used to calc. the dipole moment matrix element of the vibrational-rotational transitions between the 2 states ( $V'$ ,  $J'$ ) and ( $V''$ ,  $J''$ ) of diat. mols. Calclns. were performed on CO. The Murrell-Sorbie potential and the method of approxn. of the  $\mu(r)$  curve are useful in the quantum mech. calcn. of the dipole matrix element.

17/5/81

04.1980.22.116

CD

21760

1980

pacet  
usiek.  
nowip.  
(γ)

Golebiowski A., et al  
Acta phys. pol., 1980,  
A57, nr 4, 585-97.

● (CuO<sub>2</sub>)III

CD

1980

Grimm F. A., et al

protoin.  
creativ.

J. Chem. Phys., 1980, 72,  
N5, 3041-48.



(acc Na) III

CO

Lennard 90751 . 1980.

Halpern J.B.; et al.

Unknownly.

Spectrum. J. Mol. Spectrosc.,  
Volume 1980, 79, 1-30.

Rotational line strengths.,,

1980

CO

 $\text{Cr}(\text{CO})_6$ расчет  
моделей.

17 Б51. Эффекты базисного набора в квантовомеханическом описании комплексов переходных металлов. Heijser W., Baerends E. J., Röös P. Basis-set effects in the quantum-mechanical description of transition-metal complexes. «J. Mol. Struct.», 1980, 63, № 1, 109—120 (англ.)

Влияние расширения базисного набора на результаты расчетов дискретно-вариац. методом (ДВМ) исследовано на примере расчета CO (I) и Cr(CO)<sub>6</sub> (II). В случае I рассматривали базисы от одноэкспонентного (ОБ) до двухэкспонентного (ДБ) с добавлением s-, p-, d-поляризац. функций. В случае II рассматривали базисы ОБ до ДБ с добавлением поляризац. 3d-функций для С и О и доп. набора 3d-функций для Cr (во всех случаях основные 1s-функции С и О и 1s-, 2s-, 2p-функции

(+)

☒

Х 1980 N 17

С заморожены). В случае I анализ карт электронной плотности показал, что для удовлетворительного описания распределения электронной плотности необходимо использовать ДБ с добавлением поляризац. функций причем добавление поляризац.  $d$ -функций приводит к лучшим результатам, чем добавление  $s$ -,  $p$ -функций. В случае II расчет в ОБ также дает неудовлетворительное описание электронного строения комплекса, тогда как расчет в ДБ дает распределение электронной плотности в области связи Сг—СО, а также энергию связи Сг+6СО и потенциалы ионизации, близкие полученным в расширенном базисе. Отмечено удовлетворительное согласие рассчитанных в рамках ДВМ и полученных экспериментально карт разностной электронной плотности.

О. Гриценко

CO

1980

Hieber H.

KB. mex.  
pacrem  
reverp.  
mol-l

Theor. chim. acta, 1980,  
55, N<sup>o</sup> 2, 117-26

Cu HgO ; III

CO

оттиск 9951

1980

11 Д140. Двухатомные молекулы как возмущенные осцилляторы Морзе. V. Центробежное искажение. Dia-

atomic molecules as perturbed Morse oscillators. V. Centrifugal distortion. Huffaker J. N. «J. Chem. Phys.», 1980, 72, № 4, 2601—2605 (англ.)

*Четвертый  
бесконечный  
цикл вспомогательных*

Получены ф-лы для расчета параметров Данхэма  $Y_{jk}$  для  $k < 3$  и произвольного  $j$  через параметры возмущенного потенциала Морзе двухатомной молекулы. Параметры  $Y_{jk}$  позволяют рассчитать постоянные центробежного искажения  $D_v$ ,  $H_v, \dots$  и т. д. Для молекулы CO на основе модели возмущенного потенциала Морзе найдены параметры Данхема, и с их помощью воспроизведены колебательно-вращательные уровни  $E_{vJ}$  основного электронного состояния для  $v < 28$  и  $J \leq 100$ . Полученные  $E_{vJ}$  сравниваются с результатами других обработок с целью показать хорошую сходимость разложений в модели возмущенного осциллятора Морзе. Ч. IV Huffaker J. N. «J. Chem. Phys.», 1978, 68, 1303.

А. Дементьев

□  
+/- 2805  
mol.  
Ф. 1980  
N 11

ВР XIV-96/2

CO

1980

Yug R.

реактивы  
и. сбага  
(3)

Theor. chem. acts, 1980,  
57 N2, 107-30

есл. H<sub>2</sub>-15

CO

1980

изотропные  
коинтактивские  
программы

Kaijser Per  
et al.

Mol. Phys., 1980,  
41, NS, 1143-1151.

(Cu-N<sub>2</sub>'; III)

CO

1980

Katsuki Shimichi, et al.

J. J. Quantum. Chem.  
1980, 18, 11, 25-9.

(2)



corr.  $N_2^{-15}$

CD

1980

Krishnan R., et al

пачет  
заряд  
управл.  
реакции

J. Chem. Phys., 1980, 72,  
N1, 650-654.



see Likh; <sup>III</sup>

CO

1980

Lin C. L.; et al.

(u, n)

J. Quant. Spectrosc.  
Radiat. Transfer, 1980,  
23 (4), 387 - 98.



(coll. HCl; III)

декабрь 9181

1980

CO

14 Б67. Геометрия и сдвиг колебательной частоты молекулы CO в кристалле рассчитанный методом силового поля. Vanz J., Litsky K. The geometry and vibrational frequency shift of CO molecules in an argon matrix studied by force-field calculations. «Chem. Phys.», 1980, 46, № 3, 457—468 (англ.)

Изучены искажения, возникающие в кристалле Ag вокруг включений в него молекулы CO, а также сдвиг колебательной частоты этой молекулы, вызванный ее взаимодействием с решеткой Ag. Молекула CO замещала один из атомов в гранецентрированной кубич. решетке Ag. При расчётах энергии взаимодействия Ag—CO и геометрии системы использованы атом-атомные потенц. взаимодействия С...Ag и О...Ag в форме, предложенной Букингемом (б-эксп); численные значения параметров потенциалов взяты из работы «Chem. Phys.», 1980, 46, № 3, 445. Энергетически наиболее выгодна конфигурация, в к-рой центр масс молекулы CO, ориентированной вдоль крист. оси (0, 0, 1), сдвигается по этой оси на 0,249 Å от центра взаимодействия (к центру движется атом С), а первая оболочка ато-

гексагон.  
молекул

д 1980 № 14

мов Ag, окружающих CO, принимает форму эллипсоида, полуось к-рого лишь на 0,06 Å отличается от радиуса искаженной оболочки, равного 3,756 Å; отклонение от сферичности для второй оболочки атомов Ag оказывается на порядок меньше, искажениями последующих крист. слоев пренебрегают. Сдвиг центра масс молекулы CO приводит к понижению потенциальной энергии на 1,2 кдж/моль. (с 1,36 до 0,16 кдж/моль). Дальнейшее понижение энергии, связанное с релаксацией решетки, оказывается сравнительно малым и составляет 0,32 кдж/моль. Сдвиг колебательной частоты молекулы CO, рассчитанный для равновесной конфигурации системы, составляет  $5,1 \text{ см}^{-1}$  (эксперим. значение  $4,7 \text{ см}^{-1}$ ). Расхождение объясняется влиянием связи CO на невалентные взаимодействия C...Ag и O...Ag, к-рое учитывается введением в потенциальную функцию CO—Ag дополнительного, слагаемого, описывающего трехчастичные взаимодействия и содержащего один эмпирич. параметр. Учет трехчастичных взаимодействий изменяет сдвиг колебательной частоты CO в пределах нескольких  $\text{cm}^{-1}$  и практически не оказывается на равновесной геометрии системы CO—Ag. В. А. Куприевич

CO

Lommel et al. 1980.

Mattera & et al.

Kubas  
Komesu,  
Oguri

Z. Chem. Phys., 1980,  
72 (72), 6815-6816

on Ar<sub>2</sub>; III

*CO*

*1980*

*13 Б230.* Чисто вращательные спектры и вращательные постоянные моноокиси углерода, меченной  $^{14}\text{C}$ . Mink J., Ayoub A., Keméry G., Kremé R., Kling F. Pure rotational spectra and rotational constants of  $^{14}\text{C}$ -labelled carbon monoxide. «Spectrochim. acta», 1980, A36, № 2, 151—152 (англ.)

*М, М*

На фурье-спектрометре в области частот от 20 до  $70 \text{ см}^{-1}$  с разрешением  $0,2 \text{ см}^{-1}$  измерено 14 чисто вращательных переходов со значениями квантового числа  $J$  от 5 до 18 для образца  $^{14}\text{C}^{16}\text{O}$ . Анализ спектра выполнен с учетом квартичного центробежного искажения с использованием полиномиального представления для вращательных состояний. Получены следующие значения вращательной постоянной  $B_0 = 1,7689(3) \text{ см}^{-1}$  и постоянной центробежного искажения  $D_0 = 8,5(5,5) \cdot 10^{-6} \text{ см}^{-1}$ . Полученные данные хорошо согласуются с известными МВ-измерениями, а также с данными для др. изотопич. образцов моноокиси углерода.

С. Н. Мурзин

*Х 1980 № 13*

*(см News Lett., 1980, № 124)*

CO

1980

7 Д404. Вращательные спектры и вращательные  
постоянные окиси углерода, содержащей  $C^{14}$ . Pure ro-  
tational spectra and rotational constants of  $^{14}C$ -labelled  
carbon monoxide. Mink J., Ayoub A., Kemény G.,  
Keméy R., Kling F. «Spectrochim. acta», 1980, A36,  
№ 2, 151—152 (англ.)

Получены спектры ИК-поглощения окиси углерода,  
обогащенной изотопом  $^{14}C$ , в области  $20—75\text{ см}^{-1}$  с  
разрешением  $0,2\text{ см}^{-1}$  при давл. 68 кПа. С точностью  
 $3 \cdot 10^{-2}\text{ см}^{-1}$  определены частоты линий с  $J$  от 5 до 18.  
По частотам рассчитаны вращательные постоянные  $B_0$   
и  $D_0$ .

M. T.

9. 1980. № 7

CO

Лоттишк 10084!

1980

кв. меж.  
ратет,  
(У)

X. 1980  
№ 23

1) 23 Б27. Сравнение метода ЛКАО-Х $\alpha$  с методами Хартри — Фока и Х $\alpha$ -рассеянных волн на примере окси углерода. Mintmire J. W., Sabin J. R. A comparison of the LCAO-X $\alpha$  method with the Hartree-Fock and multiple-scattering-X $\alpha$  methods on carbon monoxide. «Chem. Phys.», 1980, 50, № 1, 91—103 (англ.)

Проведены расчеты молекулы CO методами ЛКАО-Х $\alpha$ , Хартри — Фока (ХФ) и Х $\alpha$ -РВ. Использована модифицированная версия исходного метода ЛКАО-Х $\alpha$  Самбе и Фелтона (МСФ), в котором подгонка электронной плотности  $\rho$  производится по несферич. гауссовым функциям (вплоть до f). По уточненной ф-ле рассчитывается энергия кулоновского межэлектронного взаимодействия:  $\int \rho(\vec{r}_1) \rho(\vec{r}_2) r_{12}^{-1} dv_1 dv_2 \approx 2 \int \rho(r_1) X \times \tilde{\rho}(\vec{r}_2) r_{12}^{-1} dv_1 dv_2 - \int \tilde{\rho}(\vec{r}_1) \tilde{\rho}(\vec{r}_2) r_{12}^{-1} dv_1 dv_2$ , где  $\tilde{\rho}(r)$  — приближенная электронная плотность. Как в методе ХФ,

так и в ЛКАО- $X\alpha$  использован одинаковый базис  
(9s, 5p) на атомах С и О. Подгонка  $\rho$  и  $\rho^{1/3}$  проводи-  
лась по 64 примитивным гауссовым функциям, сгруппиро-  
ванным в 34 функции цилиндрич. симметрии.  
В обоих  $X\alpha$ -расчетах взято одинаковое  $\alpha = 0,75006$ .  
Наилучшее согласие с экспериментом характеристик  
потенциальной крови СО обнаружено для ЛКАО- $X\alpha$ .  
Метод  $X\alpha$ -РВ приводит к отталкивательному характе-  
ру потенциала. Рассчитанные в рамках метода ЛКАО- $X\alpha$   
значения потенциалов ионизации лучше согласуются  
с экспериментом, чем результаты расчетов по ХФ  
и  $X\alpha$ -РВ. В методе ЛКАО- $X\alpha$  удовлетворительно  
воспроизводится также дипольный момент СО.

М. Кузьминский



CO

Lomtsev 10084

1980

11 Д85. Сравнение метода ЛКАО  $X\alpha$  с методами Хартри — Фока и  $X\alpha$  рассеянных волн для окиси углерода. A comparison of the LCAO- $X\alpha$  method with the Hartree—Fock and multiple-scattering- $X\alpha$  methods on carbon monoxide. Mintmire John W., Sabin J. R. «Chem. Phys.», 1980, 50, № 1, 91—103 (англ.)

Методом ЛКАО  $X\alpha$ , неэмпирич. методом Хартри — Фока (ХФ) и методом  $X\alpha$  рассеянных волн (РВ) исследовано электронное строение CO для интервала межъядерных расстояний 1,5—3 ат. ед. Использован базис гауссовых ф-ций  $9s5p$ . Рассчитанные потенц. кривые для ЛКАО  $X\alpha$  и ХФ приводят к близким и хорошо соглашающимся с эксперим. данными результатам, тогда как

Денисов  
Смирнова,  
Пономарев,  
Красильщиков  
(У)

4.1980г/61

метод РВ минимума не обнаруживает. Методы ЛКАО и ХФ  $X\alpha$  приводят также к хорошо согласующейся с эксперим. значением частоте валентного колебания, а для энергии диссоциации и дипольного момента согласие даже лучше, чем в случае ХФ; причины этого подробно проанализированы при рассмотрении карт электронной плотности. Рассчитанные методом ЛКАО  $X\alpha$  первые 4 потенциала ионизации согласуются с эксперим. данными существенно лучше, чем в методе РВ и даже несколько лучше, чем в случае ХФ.

В. Л. Лебедев

CO

Lommick 10084 /

1980

*Kb. Alex.  
paeret*

V93: 138256q A comparison of the LCAO-X $\alpha$  method with the Hartree-Fock and multiple-scattering-X $\alpha$  methods on carbon monoxide. Mintmire, John W.; Sabin, J. R. (Quant. Theory Project, Univ. Florida, Gainesville, FL 32611 USA). *Chem. Phys.* 1980, 50(1), 91-103 (Eng). The results of the LCAO-X $\alpha$  method of B. I. Dunlap et al., (1979), based on the Slater X $\alpha$  exchange potential are compared with the results of the Hartree-Fock method and the MSX $\alpha$  method. Identical orbital basis sets were used for the LCAO-X $\alpha$  and LCAO-HF calcns. with the outcome that the LCAO-X $\alpha$  results are close to exptl. results for CO, with equal or better agreement with expt. than the LCAO-HF results.

C.A. 1980, 93, N14

14 Б66. Молекула окиси углерода в кристаллической

решетке аргона: эмпирическая оценка параметров потенциальной энергии взаимодействия  $\text{Ar} \dots \text{Ar}$ ,  $\text{C} \dots \text{Ar}$  и  $\text{O} \dots \text{Ar}$ . Mirkus K. Carbon monoxide molecules in an argon matrix: empirical evaluation of the  $\text{Ar} \dots \text{Ar}$ ,  $\text{C} \dots \text{Ar}$  and  $\text{O} \dots \text{Ar}$  potential parameters. «Chem. Phys.», 1980, 46, № 3, 445—455 (англ.)

1980

Метод атом-атомных потенциалов использован для расчета взаимодействия в моноатомном кристалле  $\text{Ar}$ , содержащем молекулы  $\text{CO}$ . Потенциал взаимодействия  $\text{CO} \dots \text{Ar}$ , представляемого суммой взаимодействий  $\text{C} \dots \text{Ar}$  и  $\text{O} \dots \text{Ar}$ , позволяет удовлетворительно описать покажения, вносимые молекулой  $\text{CO}$  в крист. структуру  $\text{Ar}$ , а также воспроизвести сдвиг колебательной частоты и либрац. спектра молекулы  $\text{CO}$  в кристалле  $\text{Ar}$ . Результаты расчета потенциальной поверхности взаимодействия  $\text{Ar} \dots \text{CO}$  показывают ориентаци. зависимость энергии взаимодействия, обусловленную несферичностью молекулы  $\text{CO}$ . Для равновесного расстояния  $\text{Ar}-\text{CO}$  получено значение  $3,63 \text{ \AA}$ , а для глубины потенциальной ямы — значение  $-1,321 \text{ кДж/моль}$ ; равновесные расстояния  $\text{C} \dots \text{Ar}$  ( $3,83 \text{ \AA}$ ) и  $\text{O} \dots \text{Ar}$  ( $3,56 \text{ \AA}$ ) для димера  $\text{CO}-\text{Ar}$  оказы-

яется наилуч. возмож.

Экспер.

Х 1980 N 14

ваются несколько большие, чем соотв.-щие суммы ван-дер-ваальсовых радиусов (2,3,7 и 3,2—3,4 Å). Атом-атомная потенциальная функция выбрана в форме  $\phi = -A_{\text{Ag}}^{-6} + B_{\text{Ag}} \exp(-\alpha_{\text{Ag}} r)$ . Численные значения параметров потенциалов взаимодействия С...Аг и О...Аг получены из значений параметров С...С; О...О и Аг...Аг с использованием известных комбинац. правил и составляют:  $A_{\text{C...Ag}} = 3373$  кдж/моль·Å<sup>6</sup>,  $B_{\text{C...Ag}} = 3,12 \times 10^5$  кдж/моль,  $\alpha_{\text{C...Ag}} = 3,493 \text{ Å}^{-1}$ ;  $A_{\text{O...Ag}} = 2737$  кдж/моль·Å<sup>6</sup>,  $B_{\text{O...Ag}} = 3,28 \times 10^5$  кдж/моль,  $\alpha_{\text{O...Ag}} = 3,706 \text{ Å}^{-1}$ . Параметры потенциалов взаимодействия С...С и О...О взяты из лит. данных и позволяют хорошо воспроизвести крист. структуру и теплоты сублимации модельных соединений; параметры потенциальных функций Аг...Аг ( $A_{\text{Ag...Ag}} = 6554$  кдж/моль·Å<sup>6</sup>,  $B_{\text{Ag...Ag}} =$

---

$= 3,27 \times 10^5$  кдж/моль,  $\alpha_{\text{Ag...Ag}} = 3,305 \text{ Å}^{-1}$ ) подобраны по эксперим. данным для кристаллов Аг — величинам равновесной постоянной решетки и ее энергии при нулевой т-ре, величине изотермич. сжимаемости. Предложенные потенциальные функции взаимодействия Аг...Аг и СО...Аг более удобны для использования в крист. расчетах и лучше согласуются с эксперим. данными, чем потенциальные функции, имеющиеся в лите-  
ратуре.

В. А. Куприевич

CO

1980

Mohammad N.S.

Koideam.  
Braus.  
esom.

Int. J. Quantum Chem.,  
1980, 17; N 5, 943 - 954.

● Koideam. Braus, esom.  
(see d'Amou. rec.) III

CO

возбужд.  
эл. ударом

4.1981/11/

Д84. Возбуждение низкоэнергетическим электронным ударом и радиационный распад  $d^3\Delta$ -состояния CO. Low energy electron impact excitation and radioactive decay of the  $d^3\Delta$  state of CO. Paske W. C., Twist J. R., Gaggett A. W., Golden D. E. «J. Chem. Phys.», 1980, 72, № 11, 6134—6139 (англ.)

Проведено детальное изучение времен жизни ( $\tau$ ) молекулы CO на уровнях  $v=4,5$   $d^3\Delta$ -состояния, возбуждаемых при электронном ударе. Регистрация распада возбуждаемых состояний проводилась по интенсивности излучения с помощью многоканального анализатора. Энергия электронов выбиралась ниже порога возбуждения  $B^1\Sigma^+$ -состояния. Значения  $\tau$  определены из экстраполяции измерений в области давл. (1—20) · 10 мм рт. ст. на нулевое давление и составляют (в мсек)  $4,67 \pm 0,33$  ( $v=4$ ),  $4,02 \pm 0,32$  ( $v=5$ ) для  ${}^3\Delta_{2,3}$ -подполос и  $4,27 \pm 0,31$  ( $v=4$ ),  $3,69 \pm 0,34$  ( $v=5$ ) для  ${}^3\Delta_1$ -подполос. Для изучаемых уровней обнаружено присутствие долгоживущей каскадной компоненты с временем жизни  $16,1 \pm 0,9$  мксек ( $v=4$ ) и  $13,3 \pm 1,1$  ( $v=5$ ). Обсуждается соответствие полученных результатов по временам жизни и сечениям тушения и имеющихся в литературе и возможные причины существующих расхождений.

А. Ф. Шестаков

данный 10.12.85

ситиц 10.175

1980

CO

3 Б107. Возбуждение электронным ударом с низкой энергией и излучательный распад состояния  $d^3\Delta$ CO. Paske W. C., Twist J. R., Garrett A. W., Golden D. E. Low energy electron impact excitation and radiative decay of the  $d^3\Delta$  state of CO. «J. Chem. Phys.», 1980, № 11, 6134—6139 (англ.)

Эл. удар,  
(?)

1981 № 3

Методом запаздывающих совпадений определены времена жизни ( $\tau$ ) и сечения тушения при столкновениях ( $\sigma$ ) для уровней  $v'=4,5$  компонент мультиплета  $d^3\Delta$ CO. Спектры (переход  $d^3\Delta$  ( $v'=4,5$ )  $\rightarrow a^3\Pi$  ( $v''=0$ ) CO) возбуждались электронным ударом с низкой энергией (9,8 и 11,3 эВ). Значения  $\lambda$  ( $v'-v''=0$  (A), мгновенных и каскадных времен жизни ( $\tau_m$ ,  $\tau_k$ ) (в мкс) и сечений тушения ( $\sigma_m$ ,  $\sigma_k$ ) ( $A^2$ )CO ( $d^3\Delta$ ):  $v'=4$ ,  ${}^3\Delta_1$  5982,  $\tau_m=4,27$ ,  $\sigma_m=33,3$ ,  ${}^3\Delta_2$  6010,  $\tau_m=4,68$ ,  $\tau_m=27,8$ ,  ${}^3\Delta_3$  6034,  $\tau_m=4,65$ ,  $\tau_m=22,5$ ,  $\tau_k({}^3\Delta_{1,2,3})=16,1$ ,  $\sigma_k({}^3\Delta_{1,2,3})=25,5$ ;  $v'=5$ ,  ${}^3\Delta_1$  5624,  $\tau_m=3,69$ ,  $\sigma_m=4,0$ ,  ${}^3\Delta_2$  5647,  $\tau_m=4,02$ ,  $\sigma_m=3,65$ ,  ${}^3\Delta_3$  5670  $\tau_m=4,02$ ,  $\sigma_m=3,65$ ,  $\tau_k({}^3\Delta_{1,2,3})=13,3$ ,  $\sigma_k({}^3\Delta_{1,2,3})=22,8$ . Изменение  $\tau$  в зависимости от  $I$  не наблюдалось. Коэф. ветвления ( $d-X$ ): ( $d-a$ ) для  $v'=4$  и 5 равны 0,093 и 0,088. Полученные результаты сопоставляются с данными по  $\tau_m$  и  $\sigma_m$ , полученными ранее др. методами. В. М. Ковба

CO

NiCO

Кв. мех.  
пакет

⊕/⊗

1980

10 Д98. Натуральные гибридные орбитали: результаты расчетов CO и NiCO неэмпирическим методом ССП и КВ. Natural hybrid orbitals. Ab initio SCF and CI results for CO and NiCO. Rives A. B., Weinhold F. — Proceedings of the International Symposium on Atomic, Molecular, and Solid-State Theory, Collision Phenomena, Quantum Statistics, and Computational Methods, Flagler Beach, Fla, March 10—20, 1980. — «Int. J. Quantur Chem.», 1980, Quantum Chem. Symp. № 14, 201—209 (англ.)

Предложенная ранее процедура построения натуральных гибридных орбиталей (НГО) обобщена на случай волн. ф-ций ССП и КВ в миним. и расширенном базисах. По этой схеме проанализированы волн. ф-ции CO и NiCO, рассчитанные неэмпирич. методом ССП МО ЛКАО в миним. и двухэкспонентном базисах сгруппированных гауссовых ф-ций и методом КВ с частичным (339 конфигураций) учетом одно- и двукратновозбужденных конфигураций. Проанализиро-

φ. N10. 1981

вано влияние расширения базиса и учета корреляции электронов на форму НГО. Отмечено, что такие характерные свойства, как *p*-характер гибридов и поляризация связей хорошо воспроизводятся даже в миним. базисе. Расширение базиса приводит к некоторой делокализации натуральных орбиталей неподеленных пар, а учет корреляции — к увеличению заселенности  $\pi^*$ -МО СО. В соответствии с качественными химич. соображениями показано, что координация СО к атому Ni приводит к поляризации неподеленной пары электронов атома С по направлению к атому Ni и смешению  $\pi$ -электронной плотности связи С—O к атому O.

CO

Lommeca 9950 |

1980

fares

Morales; Int. J. Quant. Chem., 1980,  
Ei  
17, 931-42.



*CO*

*N<sub>2</sub>*

*CO<sub>2</sub>*

*N<sub>2</sub>O*

*OCS*

~~(+4)~~

*22-3120-211.*

*22-3120-211.*

*22-3120-211.*

*9.1981. N11*

1980

11 Б262. Перенос колебательной энергии от  
 $\text{CO}(v=1)$ ,  $\text{N}_2(v=1)$ ,  $\text{CO}_2(001)$ ,  $\text{N}_2\text{O}(001)$  и  $\text{OCS}(001)$  к  $\text{O}_3$ . Robertshaw J. S., Smith I. W. M. Vibrational energy transfer from  $\text{CO}(v=1)$ ,  $\text{N}_2(v=1)$ ,  $\text{CO}_2(001)$ ,  $\text{N}_2\text{O}(001)$  and  $\text{OCS}(001)$  to  $\text{O}_3$ . «J. Chem. Soc. Faraday Trans.», 1980, Part 2, 76, № 10, 1354—1370 (англ.)

Исследована колебательная релаксация по флуоресценции в газовых смесях двухатомных [CO (I),  $\text{N}_2$  (II)] и трехатомных [ $\text{CO}_2$  (III),  $\text{N}_2\text{O}$  (IV), OCS (V)] молекул с озоном ( $\text{O}_3$ ). Для выяснения доминирующего механизма переноса энергии от I—V к  $\text{O}_3$  проведены теор. вычисления вероятностей столкновительного переноса по модифицированной теории Шарма — Брау и показано, что релаксация для исследованных возбужденных молекул I—V идет в основном через колебательно-колебательный (V—V) обмен энергией с  $\text{O}_3$ . Получены след. значения для постоянных скорости релаксации [для  $T = (294 \pm 4)\text{K}$ ]:

$\text{CO}(v=1) + \text{O}_3:$	$k_3 = (3,6 - 0,3^{+0,1}) \cdot$
$\cdot 10^{-13} \text{ см}^{+3} \text{ мол}^{-1} \text{ с}^{-1};$	$\text{N}_2(v=1) + \text{O}_3:$ $k_6 = (2,4 - 0,9^{+0,7}) \cdot$
$\cdot 10^{-14} \text{ см}^{+3} \text{ мол}^{-1} \text{ с}^{-1};$	$\text{CO}_2(001) + \text{O}_3:$ $k_7 = (9,3 \pm 0,4) \cdot$
$\cdot 10^{-13} \text{ см}^{+3} \text{ мол}^{-1} \text{ с}^{-1};$	$\text{N}_2\text{O}(001) + \text{O}_3:$ $k_{11} = (2,8 \pm 1,0) \cdot$
$\cdot 10^{-13} \text{ см}^{+3} \text{ мол}^{-1} \text{ с}^{-1};$	$\text{OCS}(001) + \text{O}_3:$ $k_{13} = (1,7 \pm 0,6) \cdot$
$\cdot 10^{-12} \text{ см}^{+3} \text{ мол}^{-1} \text{ с}^{-1}.$	

Определены также постоянные скорости релаксации для др. колебательных процессов, постоянные первого порядка для флуоресценции; приведены вычисленные и эксперим. вероятности переноса энергии. Возбуждение молекул I—V осуществлено электронно-колебательным ( $E-V$ ) переносом энергии от  $O(^1D)$  атомов, полученных в результате лазерного импульсного фотолиза  $O_3$  при 275 нм. Приведена и описана блок-схема эксперим. установки. Отмечена важность полученных постоянных скорости релаксации для расчета хим. лазеров, для выяснения механизмов переноса энергии в потоках в верхней атмосфере.

Б. М. Михайлов

CO

1980

Seger G., et al

R.B. med.  
paoret

Int. J. Quantum Chem.,  
1980, 17, N5, 955 - 68.

(core H<sub>2</sub>) III

CO

1980.

Tatewaki Y., et al.

Jnt. J. Quantum Chem.  
m.n. 1980, Quantum Chem.  
Symp. N 14, 93-106.

(Cu.F<sub>2</sub>;  $\text{III}$ )

CO

1980

Tavouktsoglou A.N., et al.

пачет  
паблоб.  
результат.  
E; M. N.

J. Chem. Phys., 1980, 72,  
N<sub>2</sub>, 1385-1391.



cell N<sub>2</sub>; III

CO

Lomnicka 12736 | 1980.

Tripathi R., Rai S.B.

Jinn  
M.N.

Indian J. Pure and  
Appl. Phys., 1980, 18,  
372-74.

*Alkyl  
CO  
pacet  
en.*

0777000000 9944

1980

Trivedi H.P. et al

J. Chem. Phys., 1980, 72,  
N 5, 3438-39.

● (see Ref) III

CO

Lommel 9973

1980

J.I. neff et al.,  
E. Sankar  
IIT Madras.

Tsuji et al., et al.

Jet. Y. Mass spectrom.  
and Ion Phys., 1980, 34,  
273-86

(cm. OCS<sup>+</sup>;  $\ddot{\text{u}}$ )

CO

Lommel 9740 | 1980

Packer,  
Nancarrow  
97-947

Varandas A.Y.C.

J. Chem. Soc. Faraday  
Trans. II, 1980, 76,  
129-135

CO

93: S37S7f The isotope dependence of diatomic Dunham coefficients. Watson, James K. G. (Dep. Chem., Univ. Southampton, Southampton, Engl. SO9 5NH). *J. Mol. Spectrosc.* 1980, 80(2), 411-21 (Eng). The isotope dependence of the Dunham vibration-rotation coeffs.  $Y_{kl}$  of a diat. mol. was studied. Rovibronic interactions between different electronic states are taken into account by transformation to an effective vibration-rotation Hamiltonian for each electronic state. This contains modified vibrational and rotational reduced masses as well as the adiabatic correlation of the potential energy. The effects of these contributions on the vibrationa-rotation energies are expressed in terms of 2 functions  $R_i(r)$  and  $S_i(r)$  for each atom  $i$ . The resultant formula for  $Y_{kl}$  is  $Y_{kl} = \mu_c^{-(k+2l)/2} U_{kl} \{1 + m_e \Delta_{kl}^b / M_b + O(m_e^2/M_i^2)\}$ , whre  $U_{kl}$ ,  $\Delta_{kl}^a$ , and  $\Delta_{kl}^b$  are isotopically invariant,  $M_a$  and  $M_B$  are the at. masses, and  $\mu_c$  v  $M_a M_b / (M_a + M_b - C m_e)$  is the at. reduced mass, modified by the mol. charge no.  $C$  for charged species. The  $U_{kl}$  with  $l \geq 2$  can be calcd. from those with  $l = 0$  and 1. The corrections  $U_{kl} \Delta_{kl}^i$  are related to the functions  $R_i(r)$  and  $S_i(r)$  and to the Dunham correlations. Recent data for the CO mol. are discussed, and it is suggested that some large  $\Delta_{kl}^i$  values are assocd. with accidentally small  $U_{kl}$  values, since the size of  $U_{kl} \Delta_{kl}^i$  is not directly related to that of  $U_{kl}$ .

4. 17.

(+) Lkar.  
mark.

Kozop.

DE 12.2.4a



CA 198023 n8

1980

Chemical Abstracts

CO

Commerce 9668 | 1980

Kubasek  
noname,  
Hegnau,  
paeder  
E;

Wilson S., et al.

J. Chem. Phys., 1980,  
72 (3) 2159-65.

(con N<sub>2</sub>) III

CO

Lommel 12090

1981.

Adams G.F., et al.

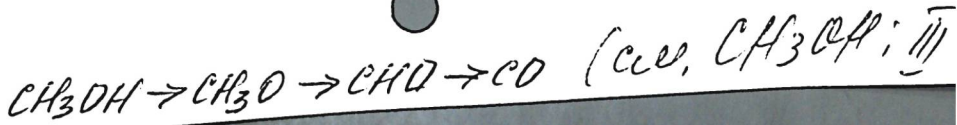
monoyd.

isomer(s)

(80)

Chem. Phys. Lett;

1981, 81 (3), 461-66



CO

OMMUCK 12298

1981

NeHe

RF, see X.  
facets,  
nomencl.  
refined

(+1)

C.A. 1981, 95, N16.

95: 139068h Application of an approximate double substitution coupled cluster (ACCD) method to the potential curves of carbon monoxide and neon-helium (NeHe): higher order correlation effects in chemically and weakly bonded molecules. Bachrach, Steven M.; Chiles, Richard A.; Dykstra, Clifford E. (Dep. Chem., Univ. Illinois, Urbana, IL 61801 USA). *J. Chem. Phys.* 1981, 75(5), 2270-5 (Eng). The recently introduced approx. double substitution coupled cluster (ACCD) method (C. et al., 1981) is applied to two diatomics: CO and NeHe. Application to these two diatomics provides an opportunity to compare higher order correlation effects in chem. bonded and weakly attractive species. The ACCD agrees quite well with double-substitution coupled cluster (CCD) for both systems. However, the higher order correlation effects seem much less important in NeHe than in CO, where CCD reduces the error in the prediction of the vibrational frequency by a factor of 3 over a variational treatment that accounted only for singly and doubly substituted correlating configurations.

CO

Отмеч 12298

1981

расчет  
потенци.  
кривых

УЗД68. Применение приближенного метода двойного замещения связанного с кластерным разложением к расчету потенциальных кривых CO и NeHe. Учет корреляционных эффектов высокого порядка в химически и слабо связанных молекулах. Application of an approximate double substitution-coupled cluster (ACCD) method to the potential curves of CO and NeHe. Higher order correlation effects in chemically and weakly bonded molecules. Bachrach Steven M., Chiles Richard A., Dykstra Clifford E. «J. Chem. Phys.», 1981, 75, № 5, 2270—2275 (англ.)

Предложенный ранее (Chiles R. A., Dykstra C. E. «J. Chem. Phys.», 1981, 74, 4544) т. наз. метод двойного замещения, связанный с кластерным разложением, применяется к расчету потенц. кривых основного состояния молекулы CO и ван-дер-ваальсова комплекса NeHe. Метод разработан для учета корреляционных эффектов высокого порядка, ответственных, в частности, за слабое ван-дер-ваальсово притяжение между атомами с

φ. 1982, 18 № 3

замкнутыми оболочками (напр., атомов инертных газов), для которых обычный метод ССП и приближения КВ с небольшими базисными наборами потенциала притяжения не дают. В предлагаемом подходе используется комбинация метода электронного парного оператора, включающего однократно и двукратно замещенные конфигурации, и метода кластерного разложения, операторы которого, действуя на ф-ции, соответствующие двукратному замещению некоторой референтной замкнутой ф-ции, вводят между последними эффективную связь, учитывая т. обр. корреляционные эффекты высокого порядка. Проводится сравнение на примерах CO и NeHe влияния этих эффектов в химически и слабо связанных системах. Найдено, что во втором случае эти эффекты играют заметно меньшую роль чем в первом. Проводится сравнение с результатами точного метода двойного замещения. Найдено, что используемый здесь его приближенный вариант дает достаточно точные результаты.

А. А. Зембеков

CO Yottuck 128151 1981

y Bohm et al., Bleiter &  
Theor. chim. acta, 1981,  
59(2), 153-179.

CO

Ommeek 13006

1981

(REMOVED)  
-2-  
/ 95: 228620z Absorption intensity measurements of the first overtone band of carbon monoxide. Chandraiah, G.; Hebert, G. R. (Dep. Phys., Mem. Univ. Newfoundland, St. John's, NF Can. A1B 3X7). *Can. J. Phys.* 1981, 59(10), 1367-72 (Eng). The abs. intensity  $A_{2-0}$  of the 2-0 band of CO was measured with He and Ar as pressure broadening gases at pressures up to 600 amagat. A sep. band intensity value was derived from the measurements of several *P*-branch line intensity data and the Herman-Wallis formula. The best value obtained is  $A_{2-0} = (2.11 \pm 0.03) \text{ cm}^{-2}\text{-amagat}^{-1}$ . The square of the rotationless matrix element,  $|R_{2-0}(0)|^2$  is  $(4.39 \pm 0.02)10^{-5} \text{ D}^2$ , as estd. from the measured line intensity values.

C. A. 1981, 95, N26.

CO

1981

Chojnicki H., et al.

Acta. Nocen., Acta Phys. Pol. A 1981,

Re.

A60 (5), 687 - 695.

• (act. N<sub>2</sub>; II)

CO

отмск 11458

1981

18 Б37. Теоретическое изучение некоторых синглетных и триплетных состояний молекулы CO. Согласно D. M., Langhoff S. R. A theoretical study of selected singlet and triplet states of the CO molecule. «J. Chem. Phys.», 1981, 74, № 2, 1200—1210 (англ.)

Рассчитаны потенциальные кривые состояний  $X^1\Sigma^+$ ,  $B\Sigma^+$ ,  $C^1\Sigma^+$ ,  $(4)^1\Sigma$ ,  $I^1\Sigma^-$ ,  $A^1\Pi$  и  $a^3\Pi$  молекулы CO. В базисный набор, состоявший из 48 орбиталей слейтеровского типа, включены диффузные ф-ции для описания ридберговых состояний  $B^1\Sigma^+$  и  $C^1\Sigma^+$ . Расчеты проведены методом конфигурац. взаимодействия (КВ) с использованием орбиталей, полученных методом Харти—Фока для состояний  $X^1\Sigma^+$  и  $A^1\Pi$ . В результате отбора конфигураций (на основе их вкладов в корреляц. энергию по теории возмущений Релея—Шредингера), строилась волновая ф-ция, включавшая ~10 000 конфигураций, после чего проводилась экстраполяция энергии для учета конфигураций, не включен-

Чи, Е

1981 N 18

ных в эту ф-цию. Вычисл. потенциальные кривые и определенные на их основе спектроскопич. постоянные  $r_e$ ,  $T_e$ ,  $\omega_e$  и  $\omega_{ex_e}$  хорошо согласуются с эксперим. данными, особенно для низколежащих состояний. Для состояний  $X^1\Sigma^+$ ,  $A^1\Pi$  и  $a^3\Pi$  получены кривые дипольных моментов. Вычислены моменты переходов  $A^1\Pi - X^1\Sigma^+$ ,  $B^1\Sigma^+ - X^1\Sigma^+$ ,  $C^1\Sigma^+ - X^1\Sigma^+$  и  $(4)^1\Sigma^+ - X^1\Sigma^+$  и излучательные времена жизни состояний  $A^1\Pi$ ,  $B^1\Sigma^+$  и  $C^1\Sigma^+$ , составляющие для низшего колебательного уровня 6,2—9,9; 11,2 и 2,1 ис соответственно.

А. Сафонов

CO

Октябрь 1981

1981

10 Д48. Теоретическое исследование отдельных синглетных и триплетных состояний молекулы CO. A theoretical study of selected singlet and triplet states of the CO molecule. Cooper David M., Langhoff Stephen R. «J. Chem. Phys.», 1981, 74, № 2, 1200—1210 (англ.)

Методом ССП+КВ в расширенном слэтеровском базисе рассчитаны потенц. кривые для состояний  $X^1\Sigma^+$ ,  $B^1\Sigma^+$ ,  $C^1\Sigma^+$ ,  $(4)^1\Sigma^+$ ,  $A^1\Pi$  и  $a^3\Pi$  молекулы CO. Рассчитанные значения спектроскопич. постоянных  $T_e$ ,  $R_e$ ,  $\omega_e$ ,  $\omega_{ex}$  находятся в хорошем согласии с экспериментом. Для состояний  $X^1\Sigma^+$ ,  $A^1\Pi$  и  $a^3\Pi$  рассчитаны ф-ции дипольного момента  $\mu(R)$ , согласующиеся с результатами ранних теоретич. работ и подтверждающие ошибочность полученных Вики и Клемперером эксперим. данным по  $\mu(R)$  для состояния  $a^3\Pi$ . Рассчитаны дипольные моменты переходов для систем полос  $A^1\Sigma - X^1\Sigma^+$ ,  $B^1\Sigma^+ - X^1\Sigma^+$ ,  $C^1\Sigma^+ - X^1\Sigma^+$  и  $(4)^1\Sigma^+ - X^1\Sigma^+$ . Эти моменты сильно меняются при изменении межатомного расстояния. Оценены времена жизни для низших колебательных уровней состояний  $A^1\Pi$ ,  $B^1\Sigma^+$  и  $C^1\Sigma^+$  (6,2—9,9; 11,2 и 1,2 нсек соответственно). В. И. Барановский

(Ei)

ф.10.1981

CO

Omnuck 12088

1981

( $a^3\Pi$ )  
 $d^3\Delta$ )

95: 177945z Laser-excitation study of triplet carbon monoxide. Clyne, Michael A. A.; Heaven, Michael C. (Dep. Chem., Queen Mary Coll., London, Engl., E1 4NS). *J. Chem. Soc., Faraday Trans. 2* 1981, 77(8), 1375-86 (Eng). Metastable CO  $a^3\Pi(v = 0)$  mols., at concns. near  $10^8$ - $10^9$ /cm<sup>3</sup>, were produced by the reaction Ar( $^3P_{2,0}$ ) + CO<sub>2</sub> → CO( $a^3\Pi$ ) + O + Ar, and narrow-band excitation with a dye laser was used to form the  $d^3\Delta$  state of CO, which was obsd. through fluorescence of the  $d-a$  transition. Rotationally resolved  $d-a$  laser excitation spectra were detd. Lifetime measurements of the  $d^3\Delta$  state were made from fluorescence decays, following initial excitation of the  $v = 5$  and  $v = 4$  vibrational levels. The zero-pressure lifetime of CO  $d^3\Delta(v = 4)$  is 5.75  $\mu$ s. Vibrational relaxation of CO $d^3\Delta(v = 4)$  in collisions with Ar is efficient, with a probability of  $\sim 10^{-2}$ . Relaxation is explained in terms of collisional curve crossing, probably to the  $e^3\Sigma$ -state, rather than by vibrational-translational transfer. Lifetime measurements on  $d^3\Delta(v = 5)$  support the existence of a strong, rotationally dependent perturbation in the  $J\Omega = 1$  component of this state.

C.A. 1981, 95, n20

CO

Омск 12088 1981

2 Б217. Изучение триплетного CO методом лазерного возбуждения. С 1 у пе Michael A. A., Heaven Michael C. Laser-excitation study of triplet CO. «J. Chem. Soc. Faraday Trans.», 1981, Part 2, 77, № 8, 1375—1386 (англ.)

Используя узкополосный импульсный перестраиваемый лазер на красителе измерены спектры возбуждения и флуоресценции молекулы CO, связанные с переходом  $d^3\Delta - a^3\Pi$ . Молекулы CO ( $a^3\Pi$ ,  $v=0$ ) получали

(в конц-иях  $10^8$ — $10^9$  см $^{-3}$ ) при взаимодействии следовых кол-в CO<sub>2</sub> с потоком атомов Ag( $^3P_{2,0}$ ) (разряд низкой мощности в полом катоде). При регистрации спектров возбуждения измеряли общую интенсивность флуоресценции, связанной с переходом  $d-a$ . Приведены некоторые детали эксперимента касающиеся получения CO( $a^3\Pi$ ) и лазерной системы возбуждения спектров. В спектрах возбуждения разрешена врачаательная структура перехода. Исследована кинетика флуоресцентного распада на линиях  $R_2(5)$ ,  $Q_1(9)$ ,  $P_{31}(10)$  полосы 4—0 и начального возбуждения полосы 5—0. Най-

X, 1982, 1945  
№ 2.

данные времена жизни для  $v=4$  при предельном нулевом давлении составляют  $5,75 \pm 0,70$  мксек. Изучено влияние давл. аргона на колебательную релаксацию молекул CO. Предполагается, что при столкновениях происходит не  $V-T$ -перенос энергии, а имеет место безызлучательный переход между состояниями  $d^3\Delta$  и  $e^3\Sigma^-$ , потенциальные кривые которых пересекаются. Данные по времени жизни CO( $d^3\Delta$ ,  $v=5$ ) подтверждают существование сильного возмущения в случае компоненты  $\Omega=1$  состояния  $d$ . В. М. Ковба

объ

CO

1981

Eade R.H.A., et al.

pacriū

Chem. Phys. Lett., 1981,  
83, N<sub>2</sub>, 362 - 368.



(ccs. N<sub>2</sub>;  $\text{III}$ ).

CD

1981

195: 105788c Temperature-compensated, high-resolution infrared absorption spectroscopy: application to carbon monoxide. Fisher, Charles J.; Dixon, W. Paul (AEDC Div., Sverdrup/ARO Inc., Arnold Air Force Station, TN 37389 USA).

J. Quant. Spectrosc. Radiat. Transfer 1981, 26(3), 281-4 (Eng). The analytic basis is presented for an optical absorptive technique on CO suitable for a single line-of-sight detn. of a gaseous species no. d. in the presence of concn., pressure & temp. gradients and of particulate loading. The technique depends on the use of high-resoln. IR (tunable diode laser) spectroscopy. The method requires the construction of functions of mol. line strengths that are nearly temp. independent. A method for constructing these functions is described.

CREMROCK.  
BECOKORO  
payreutual

C. A. 1981, 95, N 12.

CO

Lommel 12732 | 1981.

Filiztar S., et al.

Kb. Mex.  
paquet

Canad. J. Chem., 1981,  
59, 1071-82

CO

Оттиск 11721 1981

1 Б451. Исследование сверхтонкой структуры  $\text{C}^{17}\text{O}$ .  
Frerking Margaret A., Langer William D.  
A measurement of the hyperfine structure of  $\text{C}^{17}\text{O}$ .  
«J. Chem. Phys.», 1981, 74, № 12, 6990—6991 (англ.)

Выполнены радиоастрономич. исследования СТС вращательного перехода  $J=1-0$  молекулы  $\text{C}^{17}\text{O}$ . Определены интенсивности и частоты линий СТС. Из этих данных вычислены константы электрич. квадрупольного и магнитного дипольного взаимодействий, равные  $4337 \pm 56$  и  $-30,4 \pm 1,2$  кГц. Л. А. Корытко

ll-1.

X.1982, 19AB, N1.

CO

1981

195: 176176n Quantum-mechanical analysis of physico-chemical properties of vibrationally excited molecules in external electric fields. I. Electrostatic interaction of a charged active center with a carbon monoxide molecule in ground ( $X^1\Sigma^+$ ) and excited ( $d^3\Delta, a'^3\Sigma^+$ ) electron states. Gagarin, S. G.; Chuvylkin, N. D. (Inst. Org. Khim., Moscow, USSR). *Zh. Fiz. Khim.* 1981, 55(9), 2336-41 (Russ). The vibrational structure of CO in ground ( $X^1\Sigma^+$ ) and electronically-excited ( $d^3\Delta, a'^3\Sigma^+$ ) states was calcd. quantum mech. by taking into consideration the interaction of the mol. dipole moment with a point charge (e.g., an active center on a catalyst surface). The probabilities of spontaneous vibrational transitions for CO longitudinally coordinated by a point charge are presented. The elec. field of a Coulomb center appreciably affects the vibrational characteristics of CO.

Konevam.  
Chuvylkin. b  
Ochibokonu  
Boff. H. Cech

(Kb. Mex paper)

C.A. 1981, 95, n20.

CO

[Omnuck 14465] 1981  
Gaspar R., et al.

Aeta Phys. Acad. Sci.  
High. 1981, 50 (4),  
359 - 365.

(all. N<sub>2</sub>;  $\frac{1}{11}$ )

CD

1981

George Philip Tracht  
man Mlerdel, et al.

Kb. alk.  
paeriu.

J. Comput. Chem., 1981,  
2, N3, 334-346.

(con. MF; III)

CD

Ummuck 18408

1981

Kb. uex.  
Pacret

Gollisch H.,

Z. Phys. B: Atom and  
Mol. Phys., 1981, 14, N<sup>o</sup> 23,  
4457 - 4467.

(cav. Bez; II)

CO

1981

Physic  
Cleekflocken

95: 32951p Differential Fourier spectroscopy with simultaneous interferograms: application to extensive accurate pressure-shift measurements. Guelachvili, G. (Lab. Infrarouge, Univ. Paris XI, F-91405 Orsay, Fr.). *Appl. Opt.* 1981, 20(12), 2121-32 (Eng). A new method is described, allowing cancellation of systematic effects in the comparison between different spectra recorded with a general purpose high-information Fourier spectrometer. Preliminary tests on pressure-shift measurements of the 1-0 vibration-rotation band of CO at 5  $\mu\text{m}$  demonstrate improvement in the sensitivity and the precision of 2 orders of magnitude. With a Signal-noise ratio of  $\sim 200$ , no evidence of systematic shifts due to the method itself exists over  $10^{-6} \text{ cm}^{-1}$  (30 KHz). (This corresponds, for example, to an astronomical radial velocity of  $0.15 \text{ ms}^{-1}$ ). Wave no. pressure shifts due to 5 torr of CO are easily detectable. The 50 analyzed lines of the CO band belong to 300,000 spectral elements recorded in spectra covering  $1000 \text{ cm}^{-1}$ . This clearly indicates that accurate pressure-shift measurements of very extensive spectra become possible. The method has also all the known advantages of differential spectroscopy performed here for the 1st time with Doppler-limited resoln.

C.A.1981.GS.NY

CO

[Lommel 12009] 1981.

Haeck W; Langel W.

Chemsp

transverses;

epomous,

caufayab.

(C<sub>2</sub>)

Chem. Phys. Lett;

1981, 81(3), 387 - 390.

Омск 1947 1981

CO

2 Б219. Индуцированная лазером флуоресценция из состояния  $A^1\Pi$ CO. Hancock G., Zacharias H. Laser-induced fluorescence from CO( $A^1\Pi$ ). «Chem. Phys. Lett.», 1981, 82, № 3, 402—404 (англ.)

Исследована ВУФ флуоресценция CO, возбуждаемая с высоколежащих колебательных уровней ( $v=11, 12, 14, 15$ ) основного электронного состояния. Молекулы CO( $X^1\Sigma^+$ ,  $v''$ ) получали при взаимодействии атомарного кислорода (МВ-разряд) с  $CS_2$  ( $O_2 \rightarrow 20$ ,  $O + CS_2 \rightarrow CS + SO$ ,  $O + CS \rightarrow CO(X, v'') + S$ ,  $Ar/O_2/CS_2 = 1000 : 10 : 1$ ,  $p \sim 1$  мм). Использован след. комбинированный источник УФ-возбуждения (213—230 нм). Удвоенное по частоте излучение импульсного перестраиваемого лазера, накачиваемого второй гармоникой неодимового лазера (278—295 нм), пропускали через оптич. ячейку со сжатым водородом и далее излучения, связанные со вторым и третьим антистоксовыми КР переходами, использовали для возбуждения CO( $X, v''$ ). Спектры возбуждения флуоресценции измерены для полос 3—11, 4—12, 5—14 и 6—15 перехода  $A^1\Pi - X^1\Sigma^+$ .

В. М. Ковба

Х. 1982, 1945, № 2.

CO

1981

Оттиск 11947

2 Д948. Возбуждаемая лазером флуоресценция CO( $A^1\Pi$ ). Laser-induced fluorescence from CO( $A^1\Pi$ ). Hancock G., Zacharias H. «Chem. Phys. Lett.», 1981, 82, № 3, 402—404 (англ.).

При возбуждении с высоких колебательных уровней молекул CO( $X^1\Sigma^+$ ), образующихся в результате реакции O+CS, лазерным УФ-излучением, зарегистрирована ВУФ-флуоресценция из состояния CO( $A^1\Pi$ ). Отмечено, что реализованная схема возбуждения и связанное с ней преобразование УФ-излучения в ВУФ излучение могут быть использованы для создания лазера на переходе CO(A—X).  
Б. С. Иванов

спектр  
флуоресц.

оф. 1982, 18, № 2.

CO

Omnilex 11947

1981

195: 159229q Laser-induced fluorescence from carbon monoxide( $A^1\Pi$ ). Hancock, G.; Zacharias, H. (Phys. Chem. Lab., Oxford Univ., Oxford, Engl. OX1 3Q2). *Chem. Phys. Lett.* 1981, 82(3), 402-4 (Eng). Vacuum UV fluorescence was obsd. from CO( $A^1\Pi$ ) following UV laser excitation of high vibrational levels of the ground ( $X^1\Sigma^+$ ) state formed in the reaction between O atoms and CS radicals. This scheme of up-conversion of UV to vacuum-UV radiation has potential applications in the operation of a CO( $A-X$ ) electronic laser.

Синтез  
лазерной  
флуоресценции.

C. A. 1981, 35, N 18.

CO

1981

Horjou N., et al.

Chem. Phys. 1981,  
(J; KB. recex.  
pacréer) 57(3), 475 - 485.

(en  $N_2$ ;  $\text{III}$ ).

CO

1981.

Helffaker J. N.  
J. Chem. Phys., 1981,  
74, 1214.

Diatomic molecules as perturbed  
Morse oscillators, VI. High-  
precision

● eigenfunctions.

Nofman

CO

1980

Rush N.S.

10b. week.  
pacreeit

Mol. Phys. and Quantum  
Chem. into '80's. Workshop,  
Wollongong, Febr. 1980. S.p.  
8.a., 1/7. 1-1/7. 22. Discuss;  
1/7. 23-1/7. 24.

(see. LiM; 111)

CO

1981

10 Б198. Колебательные постоянные электронного перехода  $B^2\Sigma^+ \rightarrow X^2\Sigma^+$  молекулы  $^{12}\text{C}^{18}\text{O}^+$ . Vibrational constants of the electronic transition  $B^2\Sigma^+ \rightarrow X^2\Sigma^+$  of molecule  $^{12}\text{C}^{18}\text{O}^+$ . Janjić J., Čonkić Lj. «Зб. рад. прир.-мат. фак. Ун-т Новом Саду. Сер. физ.», 1981, 11, 47—52 (англ.)

Измерен спектр испускания молекулы  $^{12}\text{C}^{18}\text{O}^+$  (переход  $B^2\Sigma^+ - X^2\Sigma^+$ , 200—315 нм), возбуждаемый в разрядной трубке с графитовым цилиндрическим катодом. Выполнен анализ колебательной структуры. Абс. колебательная нумерация полос определена по изотопным сдвигам. Приведена таблица Деландера для кантов полос ( $v'=0-3 - v''=0-5$ ) и распределение относит. интенсивности кантов полос в системе. Значения полученных молек. постоянных  $^{12}\text{C}^{18}\text{O}^+$  ( $\text{см}^{-1}$ ):  $T_e = 45902,59$ ,  $\omega_e' = 1681,80$ ,  $\omega_e'x_e' = 24,13$   $\omega_e'' = 2159,91$ ,  $\omega_e''x_e'' = 14,72$ .

В. М. Ковба

20.1983, 19, N 10

1981

CO

 $E^1\Pi - A^1\Pi$ ,

(u.n.)

1981: 1126S9v The analysis of the  $E^1\Pi-A^1\Pi$  transition in carbon monoxide ( $^{14}\text{C}^{16}\text{O}$ ) molecule. Kepa, R.; Rzeszut, Z. (At. Mol. Phys. Lab., Pedagogical Coll., Rzeszow, Pol.). *Acta Phys. Acad. Sci. Hung.* 1981, 50(3), 259-67 (Eng). The earlier investigations of the  $E^1\Pi$  state in the CO mol. by measurements of lines  $E^1\Pi-A^1\Pi$  band system were extended to the rare isotopic  $^{14}\text{C}^{16}\text{O}$  mol. The 0-1 and 0-2 emission bands of the  $E^1\Pi-A^1\Pi$  system in this isotope were obtained at high resoln. A complete rotational anal. of these bands was performed and the following consts. were detd. for the  $E^1\Pi$  state:  $B_{0(e)} = (1.80389 \pm 0.00015)$ ,  $B_{0(\eta)} = (1.79347 \pm 0.00024)$ ,  $D_{0(e)} = (6.50 \pm 0.36) \times 10^{-6}$ , and  $D_{0(\eta)} = (4.99 \pm 0.57) \times 10^{-3} \text{ cm}^{-1}$ . For the  $A^1\Pi$  state:  $B_1 = (1.45268 \pm 0.00026)$ ,  $B_2 = (1.43336 \pm 0.00030)$ ,  $D_1 = (6.87 \pm 0.62) \times 10^{-6}$ ,  $D_2 = (8.64 \pm 0.61) \times 10^{-6}$ ,  $Y_{01} = (1.48166 \pm 0.00065)$ , and  $Y_{11} = -(0.01932 \pm 0.00040) \text{ cm}^{-1}$ . For the  $E^1\Pi-A^1\Pi$  transition:  $C_{01} = (26747.748 \pm 0.024)$  and  $C_{02} = (25359.007 \pm 0.022) \text{ cm}^{-1}$ . The A-doubling of the  $E^1\Pi$  state was considered in detail and the parameters of the splitting in  $v = 0$  vibrational level were calcd. The expressions for their isotopic mass dependence are also presented.

C. A. 1982, 96, N 14.

CO

Отиск 13670

1981

9 Д452. Анализ перехода  $E^1\Pi - A^1\Pi$  молекулы  $^{14}\text{C}^{16}\text{O}$ . The analysis of the  $E^1\Pi - A^1\Pi$  transition in  $^{14}\text{C}^{16}\text{O}$  molecule. Kera R., Rzeszut Z. «Acta phys. Acad. sci. hung.», 1981, 50, № 3, 237—245 (англ.)

С высоким разрешением получен спектр испускания молекулы  $^{14}\text{C}^{16}\text{O}$  ( $E^1\Pi - A^1\Pi$ ). Выполнен вращательный анализ полос 0—1 и 0—2 этой системы и определены значения спектроскопич. постоянных:  $B_0$ ,  $D_c$  для обеих компонент  $\Lambda$ -дублета в состоянии  $E^1\Pi$ ,  $B_1$ ,  $B_2$ ,  $D_1$ ,  $D_2$ ,  $Y_{01}$ ,  $Y_{11}$  для состояния  $A^1\Pi$  и  $C_{01}$  и  $C_{02}$  для перехода  $E^1\Pi - A^1\Pi$ . Детально проанализировано  $\Lambda$  — удвоение в состоянии  $E^1\Pi$  и определено значение параметра  $\Lambda$ -расщепления уровня  $E^1\Pi$ ,  $v=0$ .

В. С. Иванов

φ 1982, 18, N 9

CO

1981

10 Д61. Постоянные центробежного искажения двухатомных молекул: усовершенствованный метод расчета.  
Centrifugal distortion constants for diatomic molecules:  
an improved computational method. Hutson Jегету M. «J. Phys. B: Atom. and Mol. Phys.», 1981, 14,  
№ 5, 851—857 (англ.)

Предложен метод расчета постоянных центробежного искажения  $D_v$ ,  $H_v$ ,  $L_v$  и  $M_v$  (коэф. при  $J^4$ ,  $J^6$ ,  $J^8$  и  $J^{10}$ , соответственно, в выражении вращательной энергии) двухатомных молекул, основанный на интегрировании ур-ний теории возмущений без привлечения сумм по промеж. состояниям. Метод допускает применение потенц. ф-ции произвольной формы и учитывает вклад непрерывного спектра. В качестве иллюстрации метода выполнен расчет постоянных  $D_v$ ,  $H_v$  и  $L_v$  для основного электронного состояния молекулы CO с использованием потенц. ф-ции РКР.

М. Р. Алиев

по-старой  
чертежей.  
расчеты

Ф. № 10. 1981

1981

CO

CO<sub>2</sub>

спектр,  
кор.-франц.  
переходы

⑪

09.1981.№7

7 Д494. Изучение ИК-излучения колебательно-возбужденных молекул CO в области полосы 4,7 мк и молекул CO<sub>2</sub> в области полос 4,3 и 2,7 мк. A study of infrared radiation of vibrationally excited CO in the 4.7  $\mu\text{m}$  band and CO<sub>2</sub> in the 4.3  $\mu\text{m}$  and 2.7  $\mu\text{m}$  bands. Kudryavtsev N. N., Novikov S. S. «Rev. phys. appl.», 1981, 16, № 2, 49—66 (англ.; рез. франц.)

В рамках теории радиационного переноса в неравновесных молекулярных газах проведен расчет спектральных и усредненных по набору колебательно-вращательных переходов характеристик излучения и поглощения в 2-атомных и линейных 3-атомных молекулах в отсутствие термодинамич. равновесия между колебательными и трансляционными степенями свободы. Отмечено, что спектральные характеристики излучения в полосах 4,3 и 2,7 мк молекул CO<sub>2</sub> и полосы 4,7 мк молекул CO зависят от давления газа, длины оптич.

пути и колебательной т-ры системы, причем интенсивность излучения в колебательно-неравновесном молекулярном газе определяется в значительной мере колебательной температурой системы. Показано, что одновременное определение интенсивности ИК-полос 4,3 и 2,7 мк молекул  $\text{CO}_2$  позволяет оценить т-ру асимметричного колебания и составных колебаний этих молекул. Библ. 51.

И. В. А.

CO

1981

Yarhoff P. W., et al.

Chem. Phys., 1981, 58,  
N1, 77 - 91.

(K8. aer. paceti,  
сертификат  
гидрометра -  
уна).

● (сер. N<sub>2</sub>; III).

CO

Омск 12.6.85 1981

9 Б151. Качественные исследования поглощения и флуоресценции CO в области от 1060 до 1550 Å.  
Lee L. C., Guest J. A. Quantitative absorption and fluorescence studies of CO from 1060 to 1550 Å. «J. Phys. B: Atom. and Mol. Phys.», 1981, 14, № 18, 3415—3421 (англ.)

С использованием в кач-ве источника синхронного излучения в проточной системе измерены усредненные сечения фотопоглощения CO при низком давл. в области 1060—1550 Å. Из полученных значений рассчитаны силы осцилляторов для переходов из состояния  $X'\Sigma^+$  CO на различные возбужденные состояния.

С. Б. Осин

вероятность  
перехода

X. 1982, 19, №.

CO

OCTOBER 12 1981

96: 60314x Quantitative absorption and fluorescence studies of carbon monoxide from 1060 to 1550 Å. Lee, L. C.; Guest, J. A. (Mol. Phys. Lab., SRI Int., Menlo Park, CA 94025 USA). *J. Phys. B* 1981, 14(18), 3415-21 (Eng). The photoabsorption cross section of CO was measured in the 1060-1550 Å region using synchrotron radiation. The oscillator strengths for the transitions from  $\text{CO}(X^1\Sigma^+)$  to various excited states were obtained from these results. Fluorescence from excited CO was obsd. in the 1150-3000 and 3000-8000 Å regions. The quantum yields for the prodn. of fluorescence from the  $A^1\Pi$  and  $B^1\Sigma^+$  states are unity because their excitation energies are below the dissocn. limit. The  $C^1\Sigma^+$ ,  $v = 0$  level has significant fluorescence quantum yields both in the UV and visible regions, but the yields for the  $E^1\Pi$ ,  $v = 0$ , and  $C^1\Sigma^+$ ,  $v = 1$  levels are very small. The  $C^1\Sigma^+$ ,  $v = 1$  level is presumably predissocd. The cross sections for the prodn. of fluorescence from the  $a'^3\Sigma^+$ ,  $d^3\Delta_i$ ,  $e^3\Sigma^- \rightarrow a^3\Pi$ , and  $B^1\Sigma^+$ ,  $C^1\Sigma^+ \rightarrow A^1\Pi$  transitions upon excitation from the  $X^1\Sigma^+$  were also measured.



C.A. 1982, 96, n 8

CO

Dommek 13085

1981

Lievin Y., Brechet Y.,  
et al.

Do;

Theor. chim. acta, 1981,  
60, N 4, 339 - 353.

(cell H<sub>2</sub>; II)

CO

Commerca 12805 | 1981,

Zinn S. H.; et al.

( $\Delta_2$ )

J. Chem. Phys.; 1981,  
74 (6), 3392 - 47

<sup>14</sup>CO

отмеч 11684 1981

10 Д382. Полоса 1—0 и колебательно-вращательные постоянные для <sup>14</sup>CO. The 1—0 band and rotational-vibrational constants of <sup>14</sup>C-labeled carbon monoxide. «J. Mol. Spectrosc.», 1981, 86, № 1, 258—261 (англ.)

Со средним разрешением исследован ИК-спектр молекулы <sup>14</sup>CO. Выполнен анализ полосы 1—0. Определены колебательно-вращательные постоянные (в см<sup>-1</sup>):  $v_0 = 2054,87 \pm 0,019$ ,  $B' = 1,749 \pm 0,008$ ,  $B'' = 1,765 \pm 0,008$ ,  $D' = 0,0000048 \pm 0,000014$ ,  $D'' = 0,0000048 \pm 0,000010$ . Описана процедура синтеза молекул <sup>14</sup>CO.

М.Н.

Ф.10.1981

CO

оттиск 11684 1981

18 Б181. Полоса 1—0 и колебательно-вращательные постоянные монооксида углерода, меченного  $^{14}\text{C}$ . Mink J., Ayoub A., Kemény G., Kling F. The 1—0 band and rotational-vibrational constants of  $^{14}\text{C}$ -labeled carbon monoxide «J. Mol. Spectrosc.», 1981, 86, № 1, 258—261 (англ.)

Измерен колебательно-вращательный спектр молекулы  $^{14}\text{CO}$  (полоса 1—0,  $J=0\rightarrow 32$ ). Изотопозамещ. моноокись углерода получена в результате двухступенчатого синтеза:  $\text{Ba}^{14}\text{CO}_3 \xrightarrow{\text{H}_2\text{SO}_4} \text{Ba}^{14}\text{CO}_2 \xrightarrow{385^\circ} \text{Ba}^{14}\text{CO} + \text{ZnO}$ . Спектр измерялся с помощью цифрового спектрометра фурье-преобразования (разрешение  $0,5 \text{ см}^{-1}$ ). Значения полученных молек. постоянных  $^{14}\text{C}^{16}\text{O}$  (в  $\text{см}^{-1}$ ):  $v_0 = 2054,87 \pm 0,019$ ,  $B' = 1,749 \pm 0,008$ ,  $B'' = 1,765 \pm 0,008$ ,  $D' = D'' = 4,8 \times 10^{-6}$ .

В. М. Ковба

Х 1981 N 18

CO

Lommel 11541 | 1981.

Rb, uex.  
faerer

mulder F; et al.

Mol. Phys., 1981, 42  
(3), 629-53

CD

Lommick 13202

1981

Nakatsuji H., et al.

Recd.,  
CIRIYKI.

J. Amer. Chem. Soc.,  
1981, 103, N25, 4426 -



- 4432 .

CO

Locality 12513 ] 1981

Ogilvie J. F., et al.

(notatus.) Proc. Roy. Soc. London,  
1981, A 348, 287 - 300.

CO

1981

Perevozchikov V.Y.  
et al.

KB. *seex.*  
*paecrii*  
 $\mu$  (gun. wu).

Zh. Prikl. Spektrosk.  
1981, 34(4); 743-744

(au. ZrH; II).-

1981

CO

5 Д239. Расчет одноэлектронных свойств с использованием техники ограниченного конфигурационного взаимодействия. Calculation of one-electron properties using limited configuration interaction techniques. Raghavachari Krishnan, Popple John A. «Int. J. Quantum Chem.», 1981, 20, № 5, 1067—1071 (англ.)

Одноэлектронные свойства рассчитываются в методе конфигурац. взаимодействия с использованием аналит. дифференцирования полной энергии по параметру внешнего возмущения. Этим методом вычислены дипольные моменты для CO и H<sub>2</sub>CO. Обсуждаются отличия этого метода от прямого получения среднего значения.

А. Ермошкин

(A)

⊗



Ф. 1982, 18, N5

CO

Omnilex 12915

1981

Ramana K., Ghodgaonkar A.N.

Do;

J. Chem. Educ. 1981, 58(8),  
609 - 610.

CO

Омск 13722

1981

расчет ион.  
структур

15 Б55. Натуральные гибридные орбитали. Результаты неэмпирических расчетов в приближениях ССП и КВ для CO и NiCO. Rives A. B., Weinhold F. Natural hybrid orbitals: ab initio SCF and CI results for CO and NiCO. «Int. J. Quantum. Chem.», 1981, Quantum. Chem. Symp. № 15, 555 (англ.)

Сообщается о том, что в программе, использованной ранее (см. «J. Am. Chem. Soc.», 1980, 102, 7211) для расчета молекул CO и NiCO, была допущена ошибка. Исправленные результаты ~~для~~ электронной плотности указывают на то, что фрагмент CO в комплексе Ni CO имеет большее сходство с изолированной молекулой CO, чем получено ранее. А. В. Немухин



X. 1982, 19, N 15.

CO

Омск 13722)

1981

theor.  
расчет

УД 102. Исправление к статье «Натуральные гибридные орбитали: неэмпирические ССП и КВ расчеты для CO и NiCO». Natural hybrid orbitals: Ab initio SCF and CI results for CO and NiCO. Erratum. Rives A. B., Weinhold F. «Int. J. Quantum. Chem.», 1981, Quantum. Chem. Symp. № 15, 555 (англ.)

См. Foster J. P., Weinhold F. «J. Amer. Chem. Soc.», 1980, 102, 7211.



о. 1982, 18, № 7.

Lommelk 12632

1981

CD

Saki Y.,

D.O.,  
U.N.,  
Zernick.

J. Chem. Phys. 1981, 75(3),  
1303-1308

CO  
HCl  
OH

Ольга, Георгий  
Хим.-хим.  
инженер.

(И. К. спектр)

(43) 

7 1981/11/19

19 Б82. Интенсивности полос инфракрасного спектра: сравнительное изучение—матричных элементов моментов перехода для основных частот и обертонов. Часть II. Применение к CO, HCl и OH. Singh Surjit, Luck Werner A. P. Infrared band intensities: a comparative study of the transition moment matrix elements for the fundamental and overtones. Part II. Application to CO, HCl and OH. «J. Mol. Struct.», 1981, 74, № 1, 65—73 (англ.)

С помощью соотношений, представленных в сообщ. I (см. пред. реф.), рассчитаны матричные элементы моментов перехода для основной полосы и двух первых обертонов окиси углерода (CO). Коэф.  $a_{v,j}$  в выражении  $R_{v,0} = \sum_j a_{v,j} p_j'$ , где  $R_{v,0}$  — матричный элемент момента колебательного перехода  $0 \leftarrow v$ , а  $p_j'$  — пр-ные дипольного момента  $\frac{\partial^j \mu}{\partial \xi^j}$ ,  $\xi = (r - r_e)/r_e$ , определены для  $v, j = 1, 2, 3$ . Найдено, что эти коэф. меняются в пределах не более чем 25% для всех рассмотренных

1981  
Библиотека УГАУ, Челябинск, 1981

соотношений сообщ. I. По полученным численным данным проведен анализ влияния мех. и электрич. ангармоничностей при расчетах  $R_{v0}$ . Отмечено, что для  $R_{10}$  вклад от члена, содержащего  $p_1'$ , примерно в 100 раз больше, чем от члена, содержащего  $p_2'$  (электрич. ангармоничность). В то же время для  $R_{20}$  и  $R_{30}$  эти вклады выравниваются по величине (будучи разными по знаку). Влияние изменения молек. постоянных при переходе от одной молекулы к другой на величины  $a_v$ , и их отношения продемонстрировано на примере молекул CO, HCl и OH. Кратко обсуждено влияние образования H-связи на интенсивности колебательных полос.

Н. Ф. Степанов

CO.

[Ginnaca 12713] 1981

Sun J. N.-P., et al.

Di

Kossmus.

Сибирь.

Сибирь.

Барабинск.

67 °.

Appl. Optics, 1981,  
20 (9), 1691-95.

CO

1981

Swanson Basil J.,  
et al.

UK-CREWIP J. Mol. Spectrosc.,  
1981, 89, N2, 566-568.

(cres.  $SF_6$ ;  $\text{III}^+$ )

CO

1981

Tarr S. M., et al.

J. Chem. Phys., 1981,  
74, N 5, 2869-2878.

Быстрое  
поглощ.  
состоит

(<sup>1</sup>C<sub>6</sub>H<sub>6</sub>; <sup>11</sup> ).

15 Б154. Простая численная обработка потенциальных интегралов в методе РКР и ее применение к  $^{12}\text{C}^{16}\text{O}(X^1\Sigma^+)$ . Telle H., Telle U. A simple numerical treatment of the RKR potential integrals and its application to  $^{12}\text{C}^{16}\text{O}(X^1\Sigma^+)$ . «J. Mol. Spectrosc.», 1981, 85, № 1, 248—252 (англ.)

В известном методе РКР расчета поворотных точек потенциальных кривых предложен способ снятия осо-

бенностей интегралов  $f(v) = s \int_{-1/2-\Delta}^v [G(v) - G(u)]^{-1/2} du$

и  $g(v) = 1/s \int_{-1/2-\Delta}^v B(u) [G(v) - G(u)]^{-1/2} du$ , где  $s =$

$= (h/8\pi^2\mu c)^{1/2}$ ,  $\Delta = Y_{00}/\omega_e$ , путем замены переменных  $v + 1/2 = \lambda$ ,  $u + 1/2 = \mu$  и  $(\lambda - \mu) = \tau^2$ . Окончательный вид преобразованных выражений:



CO  
мн.  
рассл.

20/08/1981

$$f = s \int_{-\Delta}^{\lambda} \left[ \sum_{k=0}^m c_{vk} (\lambda^{k+1} - \mu^{k+1}) \right]^{-1/2} d\mu,$$

$$g = 2/s \int_0^{\sqrt{\lambda+\Delta}} \left[ \sum_{k=0}^n c_{vk} (\lambda - \tau^2)^k \right] \times \\ \times \left[ \sum_{k=0}^m A_k (\lambda - \tau^2)^k \right]^{-1/2} d\tau,$$

где  $A_k = \sum_{i=k}^m c_{vi} \lambda^{i-k}$ , а  $c_{vk}$  представляют собой коэф.

$$\text{разложения } G(v) = \sum_{k=0}^m c_{vk} (v + 1/2)^{k+1}. \text{ Суммирование}$$

может быть выполнено по схеме Горнера. Для проверки метода выбрано основное электронное состояние молекулы CO, для к-рого имеются очень точные эксперим. данные. Рассчитаны и приведены значения  $Y_{\omega} + G(v)$ ,  $B_r$ ,  $R_{\min}$ ,  $R_{\max}$  для уровней В. М. Ковба

CO

ommuck 11256

1981

94: 55033j A simple numerical treatment of the RKR potential integrals and its application to carbon monoxide ( $X^1\Sigma^+$ ). Telle, H.; Telle, U. (I. Phys. Inst., Univ. Koeln, D-5000 Cologne, 41 Fed. Rep. Ger.). *J. Mol. Spectrosc.* 1981, 85(1), 24S-52 (Eng). In the calen. of Rydberg-Klein-Rees (RKR) potential integrals of diat. mols., the singularity in the integrand at the upper level of integration can be removed by a simple transformation of variables. This results in a very fast and accurate scheme to evaluate RKR potential curves without the need of complex integration procedure for handling singularities. With the method the  $^{12}\text{C}^{16}\text{O}$  ( $^1\Sigma^+$ ) potential curves were calcd. up to  $v = 37$  with good results.

nomelus.  
JF-1543

C.A. 1981.99, N8

CO

Оттиск 12792 1981

З Д586. Измерение обусловленной столкновениями ширины колебательных линий молекул CO в горящей газовой смеси с использованием перестраиваемых по частоте диодных лазеров. Collision width measurements of CO in combustion gases using a tunable diode laser. Varghese P. L., Hanson R. K. «J. Quant. Spectrosc. and Radiat. Transfer», 1981, 26, № 4, 339—347 (англ.)

спектр

Исследованы ИК-полосы колебательно-вращательных переходов молекул CO (I) в метано-воздушном пламени при атмосферном давлении в пучке перестраиваемого по частоте излучения диодных лазеров. Проведено сопоставление колебательно-вращательных спектров I при т-рах 1850 и 300 К. Изложены элементы теории распределения интенсивности по вращательным подуровням колебательной полосы I и выполнена оценка полуширины полос в ИК-спектрах I. Идентифицированы 26 полос в спектрах I, соответствующих переходам  $1 \leftarrow 0$ ,  $2 \leftarrow 1$  и  $3 \leftarrow 2$  молекул I при т-ре 1850 К и 19 полос, отнесенных к переходам  $1 \leftarrow 0$  I.

оф. 1982, 18, №3.

при т-ре 300 К. Определены значения ширины ИК-полос I, обусловленные соударениями молекул в зоне горения. Наблюдаемое аномальное уширение ИК-полос I, в пламени приписано влиянию соударений между молекулами I и H<sub>2</sub>O. Показано, что определение типа молекул, участвующих в процессах столкновений с молекулами I в пламени, возможно путем сопоставления значений ширины вращательных компонент колебательной ИК-полосы I при различных значениях числа J. Библ. 12.

И. В. А.



CO

1981

5 Б325. Измерение уширения линий CO вследствие столкновений с H<sub>2</sub>O при комнатной температуре.  
Varghese P. L., Hanson R. K. Room temperature measurements of collision widths of CO lines broadened by H<sub>2</sub>O. «J. Mol. Spectrosc.», 1981, 88, № 11, 234—235  
(англ.)

Методом лазерной спектроскопии с использованием перестраиваемого диодного лазера измерено уширение линий колебательно-вращательных переходов основной полосы CO вследствие столкновений с H<sub>2</sub>O. Измерения выполнены при давл. около 20 Торр в диапазоне т-р 294—298 К для 9 переходов от  $P(27)$  до  $R(2)$ ,  $v = 1 \leftarrow 0$  CO в области частот 2028—2155 см<sup>-1</sup> с разрешением 0,0001 см<sup>-1</sup>. Неопределенность в измерении столкновительных ширин линий не превышала 5%. При обработке эксперим. данных форму линий моделировали профилем Фойгта; учитывали допплеровское уширение, вносили поправки на самоуширение линий и данные приводили к условиям т-ры 300°К. Для линий

лазерн.  
спектроскоп

х. 1982, 19, № 5.

$R(2)$ ,  $P(1)$ ,  $P(7)$ ,  $P(10)$ ,  $P(12)$ ,  $P(17)$ ,  $P(19)$ ,  $P(22)$  и  $P(27)$ , соотв., параметры уширения при  $T=300$  К равны  $0,245$ ;  $0,240$ ;  $0,231$ ;  $0,241$ ;  $0,234$ ;  $0,217$ ;  $0,215$ ;  $0,223$  и  $0,208$   $\text{см}^{-1}$   $\text{атм}^{-1}$ . Зависимость от вращательного квантового числа  $M$ , где  $M=J$  для  $P$ -ветви и  $M=J+1$  для  $R$ -ветви, определенная по методу наименьших квадратов, имеет вид  $2\gamma(\text{CO}-\text{H}_2\text{O}) = 0,246 - 1,34 \cdot 10^{-3} M$ .

С. Н. Мурзин

шири

CO

1981

96: 57961a MCSCF calculation of the dipole moment function of carbon monoxide. Werner, Hans Joachim (Inst. Phys. Chem., Univ. Frankfurt/M., D-6000 Frankfurt/M., Fed. Rep. Ger.). *Mol. Phys.* 1981, 44(1), 111-23 (Eng). Potential energy and dipole moment functions for the ground state of CO were calcd. using MC-SCF wave functions. Some difficulties with the MC-SCF method at large distances, which are due to the near degeneracy of the 2 asymptotic states, are discussed. From the theor. dipole moment function and the Rydberg-Klein-Rees potential function, vibrational dipole matrix elements were evaluated. For the fundamental and 1st overtone sequences, the theor. values are in excellent agreement with exptl. data. For transitions involving large vibrational quantum nos. ( $v' > 25$ ) the calcd. matrix elements are expected to be the most reliable ones presently available.

DP-UCL  
GUNORH.  
MONOXYD,  
P-UCL  
HOMERUS.  
Heppner

C.A.1982, 96, n8

CO

1981

| 9 Б21. Расчет функции дипольного момента молекулы CO методом МКССП. Werner Hans-Joachim. MCSCF calculation of the dipole moment function of CO. «Mol. Phys.», 1981, 44, № 1, 111—123 (англ.)

Многоконфигурационный вариант метода ССП (МКССП) использован для построения зависимости дипольного момента молекулы CO в основном состоянии от межъядерного расстояния. В области больших расстояний происходит резкая смена системы основных конфигураций в волновой ф-ции. Сделаны оценки дипольных моментов 35 колебательных состояний.

1  
Б. И. Пупышев

X. 1982, 49, № 9.

CO

1981

Wilson S., et al.

pacriū

Mol. Phys., 1981, 43,  
N6, 1331-1345.

(all. N<sub>2</sub>; II).

CO

Lommel et al. | 1981.

Wilson S., et al.

paper

(E.)

cozyneq.  
cozynece

Z. Phys. B: Atom. and  
Mol. Phys.; 1981, 14,  
1709-14

(COHF; II)

CO

1981

Woods R.C.

Faraday Discuss.

N.Y.-crekip. Chem. Soc., 1981, N.Y.,  
57-62.

(ccr. CN ;  $\text{II}^{\text{I}}$ )

CO

Omnick 1348

1982

Amos R.D.;

Frempur.

Мультиплити-

менты .

Chem. Phys. lett ;  
1982, 87, N1, 23-26.

CO

Nette

помену.  
Кривые,  
расчет,  
м.н.

1981

4 Б22. Применение приближенного метода связанных кластеров с двукратными замещениями (ПСКД) к потенциальным кривым CO и NeHe. Корреляционные эффекты высших порядков в химически связанных и слабо связанных молекулах. Bachrach Steven M., Chiles Richard A., Dykstra Clifford E. Application of an approximate double substitution coupled cluster (ACCD) method to the potential curves of CO and NeHe: higher order correlation effects in chemically and weakly bonded molecules. «J. Chem. Phys.», 1981, 75, № 5, 2270—2275 (англ.)

Приближенным вариантом метода связанных кластеров с двойными замещениями (ПСКД, см. «Chem. Phys. Lett.», 1981, 80, 69), рассчитаны потенциальные кривые основных состояний молекул CO и NeHe в окрестности минимумов. Отмечено, что метод ПСКД сохраняет инвариантные св-ва подхода СКД, позволяя с одинаковой точностью вычислять энергию молекулы и составляющих ее атомов, является значительно менее

(+1)

X. 1982, 19, № 4

трудоемким. Расчет СО произведен с использованием трехэкспоненциального базиса орбиталей гауссова типа с добавлением поляризац.  $d$ -орбиталей. Сопоставлены между собой результаты для спектроскопич. постоянных  $R_e$ ,  $\omega_e$ ,  $\omega_e X_e$ , найденные методами ССП, самосогласованных электронных пар, точным и приближенным вариантами СКД, а также эксперим. данные. Расчеты NeHe проведены с целью оценки глубины ямы и ее положения. Использованы несколько базисных наборов на основе трехэкспоненциального базиса. Продемонстрирована большая чувствительность глубины ямы к выбору базиса.

А. В. Немухин

